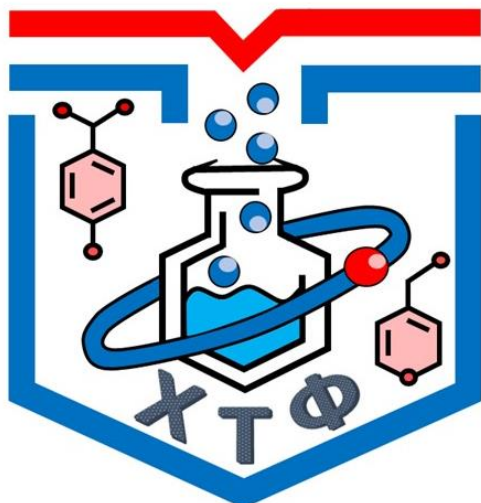


Министерство науки и высшего образования
Российской Федерации
Федеральное государственное бюджетное
образовательное учреждение высшего образования
«Тверской государственный университет»



ПОСВЯЩЕНА СТО-
ДЕВЯНОСТОЛЕТИЮ
СО ДНЯ РОЖДЕНИЯ
Д.И. МЕНДЕЛЕЕВА

**XXIII НАУЧНАЯ
КОНФЕРЕНЦИЯ
АСПИРАНТОВ И
СТУДЕНТОВ ХИМИКО-
ТЕХНОЛОГИЧЕСКОГО
ФАКУЛЬТЕТА**

Тезисы докладов

27 мая, Тверь
2024 г.

Ответственный за выпуск
доцент, к.х.н. Н.П. Русакова

В сборнике представлены тезисы докладов научной конференции аспирантов, магистрантов и студентов химико-технологического факультета Тверского государственного университета 2024 года в количестве 67 материалов. Доклады сгруппированы по секциям, соответствующим научным направлениям кафедр.



Оглавление

Секция биохимии и биотехнологий 6

| | |
|--|----|
| 1. <u>Булкина А.Э.</u> Мармеладные изделия функционального назначения | 7 |
| 2. <u>Вольга А.А.</u> Нетрадиционное сырье в производстве конфет типа пралине .. | 8 |
| 3. <u>Дышкант Е.Е.</u> Влияние СО ₂ -шротов мяты перечной на качественные характеристики и пищевую ценность сырцовых пряничных изделий..... | 9 |
| 4. <u>Ефимов Е.В.</u> Технология производства мучных кондитерских изделий на примере затяжного печенья с добавлением амарантовой муки | 10 |
| 5. <u>Киреев Е.С.</u> Влияние дополнительного морковного сырья различной технологической обработки на качество готовых макаронных изделий | 11 |
| 6. <u>Кочихин Д.Д.</u> Факторы, влияющие на реологические свойства теста батона «Нарезной» | 12 |
| 7. <u>Моисеева Е.Н.</u> Разработка балльной шкалы для оценки эстетических показателей качества тортов | 13 |
| 8. <u>Орловская А.А.</u> Применение кедровой обезжиренной муки в технологии хлебобулочных изделий | 14 |
| 9. <u>Парфентьева В.В.</u> Сравнительная оценка органолептических показателей кексов с использованием нетрадиционных видов муки | 15 |
| 10. <u>Рожков А.П.</u> Технология производства пасты с использованием нетрадиционного ягодного сырья..... | 16 |

Секция неорганической и аналитической химии... 17

| | |
|--|----|
| 11. <u>Алябина Н.В.</u> Физико-химические характеристики пенообразователей, модифицированных водорастворимыми полимерами | 18 |
| 12. <u>Белавенцева О.А.</u> Идентификация лекарственного препарата сложного состава методом ИК-спектроскопии..... | 19 |
| 13. <u>Беляева Е.А.</u> Квантовохимический расчёт структуры нанокластера Ag ₆ | 20 |
| 14. <u>Варзар А.А.</u> Создание ионоселективного электрода для анализа цефуроксима | 21 |
| 15. <u>Гигава А.М.</u> Компьютерное моделирование методом DFT комплексов Pt(II) с производными пиридина..... | 22 |
| 16. <u>Демидова Н.В.</u> Новая методика определения аскорбиновой кислоты..... | 23 |
| 17. <u>Ермолаева А.А.</u> DFT расчёт молекул фталоцианиновых комплексов Mg(II), Co(II), Ni(II), Cu(II), Zn(II), Pd(II) | 24 |
| 18. <u>Изоитко Д.В.</u> Квантово-химическое моделирование олигомеров цистеината серебра..... | 25 |



| | | |
|-----|--|-----------|
| 19. | <u>Козлова Е.Д.</u> ИК спектр цефтибутина: экспериментальные данные и квантовохимический расчёт..... | 26 |
| 20. | <u>Кравец О.Б.</u> Физико-химические методы анализа комбинированных лекарственных средств..... | 27 |
| 21. | <u>Марулева А.Е.</u> Исследование комплексообразования иминодиянтарной кислоты с борной кислотой..... | 28 |
| 22. | <u>Плахотник В.А.</u> Исследование соединений кальция в силикатобетоне..... | 29 |
| 23. | <u>Скобин М.И.</u> Исследование долевого распределения частиц в водных системах лантаноид-гепарин..... | 30 |
| 24. | <u>Сутугина К.А.</u> Исследование комплексов Cu(II) и Ag(I) с цефуроксимом | 31 |
| 25. | <u>Сухорукова А.А.</u> Потенциометрические характеристики ионоселективного электрода с откликом на амоксициллин | 32 |
| 26. | <u>Топытчак А.М.</u> Исследование структурных параметров $\text{Co}(\text{S}_2\text{CNEt}_2)_3$ методом DFT | 33 |
| 27. | <u>Удалова А.С.</u> Квантово-химическое моделирование смешанно-лигандных комплексов переходных металлов с 1,10-фенантролином | 34 |
| 28. | <u>Хомякова К.Н.</u> Определение фосфора в клубнях картофеля..... | 35 |
| 29. | <u>Хохлова А.В.</u> Ионоселективный электрод для определения новокаинамида потенциометрическим методом..... | 36 |
| 30. | <u>Шевченко М.А.</u> Вольтамперометрический анализ пищевых добавок на содержание йода..... | 37 |
| 31. | <u>Юлова А.А.</u> Квантово-химическое исследование комплексов переходных металлов с основаниями Шиффа группы N ₂ O ₂ | 38 |
| 32. | <u>Яковлева В.Р.</u> Определение тиамина гидрохлорида в лекарственных формах | 39 |
| | Секция органической химии | 40 |
| 33. | <u>Александрова А.И.</u> Влияние строения оксосоединений на свойства фенилгидразонов | 41 |
| 34. | <u>Арефьев А.А.</u> Влияние структуры хлорцинкатных ионных жидкостей на размер квантовых точек сульфида цинка | 42 |
| 35. | <u>Белякова А.С.</u> Исследование пеногасящей способности бинарных смесей поверхностно-активных веществ..... | 43 |
| 36. | <u>Богданова Е.М.</u> Получение и свойства сложного эфира пентаэритрита и лауриновой кислоты | 44 |
| 37. | <u>Васильева Д.В.</u> Применение диоксида титана в качестве катализатора при ацилировании неонола 9-12 | 45 |
| 38. | <u>Веролайнен В.А.</u> Исследование амфотерных поверхностно-активных веществ в качестве стабилизаторов эмульсий | 46 |



| | | |
|-----|--|----|
| 39. | <u>Воробьева А.О.</u> Термическая стабильность металлатных ионных жидкостей – тетрахлормanganатов N-алкилпиридиния | 47 |
| 40. | <u>Грязнов А.С.</u> Аммониевые ионные жидкости с ферроценилметильным радикалом в катионе | 48 |
| 41. | <u>Девятова С.А.</u> Получение и исследование свойств аскорбилпальмитата .. | 49 |
| 42. | <u>Егорова А.Д.</u> Ацилпроизводные Синтанола АЛМ-7 | 50 |
| 43. | <u>Егорова У.В.</u> Электропроводность растворов дицианамидов N-алкилпиридиния | 51 |
| 44. | <u>Камардина Ю.С.</u> Амидообразование с участием ангидридов карбоновых кислот и ароматических аминов | 52 |
| 45. | <u>Кафтанов А.Д.</u> Синтез и термическая стабильность металлатных ионных жидкостей на основе четвертичных солей аммония и пиридиния | 53 |
| 46. | <u>Петров М.Р.</u> Синтез гетероциклических соединений по модифицированной реакции Биджинелли..... | 54 |
| 47. | <u>Рылина К.Д.</u> Получение производных 2-аминопентандиовой кислоты и исследование их свойств | 55 |
| 48. | <u>Силина М.А.</u> Изучение взаимодействия ароматических нитрозосоединений с C-H – кислотами | 56 |
| 49. | <u>Сорокина П.А.</u> Синтез сложных эфиров на основе n-гидроксибензойной кислоты..... | 57 |
| 50. | <u>Тарабанова А.А.</u> Поверхностная активность цитрилглицерида..... | 58 |
| 51. | <u>Цветкова И.В.</u> Синтез и свойства металлатных ионных жидкостей | 59 |
| 52. | <u>Шамарина К.А.</u> Исследование микрогеометрических параметров полиэтиленсукината методом Roughness 3D Analysis | 60 |

Секция физической химии..... 61

| | | |
|-----|---|----|
| 53. | <u>Бакалюк С.А.</u> DFT рассмотрение конформеров ацетилцистеина..... | 62 |
| 54. | <u>Барсукова В.В.</u> Топологический подход в исследовании физико-химических свойств карбоновых кислот | 63 |
| 55. | <u>Киреева Д.С.</u> Свойства критических точек слабых взаимодействий. Моделирование гидратации l-цистеина | 64 |
| 56. | <u>Кузьпелев Н.А.</u> Спектральные методы контроля синтеза и агрегационной стабильности наночастиц серебра, синтезированных с использованием водных экстрактах растений | 65 |
| 57. | <u>Макаров С.В.</u> Топологический подход в изучении энталпии образования тиоэфиров | 66 |
| 58. | <u>Макеев И.С.</u> Влияние морфологии прекурсоров на физико-механические свойства ориентированной пленочной нити сверхвысокомолекулярного полиэтилена..... | 67 |



| | | |
|-----|---|-----------|
| 59. | <u>Неелова А.В., Полякова Е.Э.</u> Золь-гель переход в системе L-цистеин/AgNO ₃ , инициированный фторид-анионом..... | 68 |
| 60. | <u>Салазкин Н.С.</u> «Зеленый» синтез наночастиц серебра и их физико-химические свойства..... | 69 |
| 61. | <u>Хижняк С.Б.</u> Топологический подход в изучении амидов | 70 |
| | Дополнительные материалы | 71 |
| 62. | <u>Васильева К.Д.</u> Квантовохимический расчёт электронного спектра поглощения фталоцианата магния | 71 |
| 63. | <u>Джабраилова А.Г.</u> Абсорбция пиридина из газовой фазы кристаллическим сульфатом меди | 72 |
| 64. | <u>Зверева А.А.</u> Квантовохимический расчёт структуры олигомеров анилина | 70 |
| 65. | <u>Короткова А.В.</u> Тяжелые металлы в водах реки Волга | 70 |
| 66. | <u>Удовенко В.П.</u> Количественное определение кофеина в чае | 70 |
| 67. | <u>Черепанова М.В.</u> Количественное определение фторхинолонов в лекарственных формах | 70 |



Секция биохимии и биотехнологий



Мармеладные изделия функционального назначения

Булкина А.Э. (бакалавр, 4-го года обучения)

Научный руководитель: ст. преп. Лихуша П.С.

Функциональные продукты питания – такие продукты, которые кроме вкусовых качеств и пищевой ценности имеют физиологическое воздействие на организм человека.

В качестве перспективного объекта для создания на его основе функционального пищевого продукта лечебно-профилактической направленности я выбрала мармелад. В данной работе в качестве пищевой добавки в рецептуру мармелада вводится комплексная пищевая добавка «Премикс витаминный DELAR».

В процессе разработки рецептуры одним из основных нормативных документов, является ТР ТС 022/2011 «Пищевая продукция в части ее маркировки» [1]. Исходя из рекомендуемой дозировки, было принято решение произвести несколько образцов мармелада.

После проведения испытаний были получены следующие результаты (таблица №1). Исходя из полученных результатов можно сделать следующий вывод, что при дозировке витаминного комплекса 0,57кг/1000 кг ГП, в мармеладе остаются следующие витамины.

Таблица №1

| Наименование витаминов | НД на методы испытания | Единицы измерения | Результаты испытаний |
|------------------------|------------------------|-------------------|----------------------|
| B1 | ГОСТ 32903-2014 | мг/100г | 0,29 |
| B5 | ГОСТ 32903-2014 | мг/100г | менее 0,6 |
| B6 | ГОСТ 32903-2014 | мг/100г | менее 12,5 |
| B3 | ГОСТ 32903-2014 | мг/100г | менее 0,6 |

1. ТР ТС 022/2011 Технический регламент Таможенного союза. «Пищевая продукция в части ее маркировки» от 9.12.2011 г. №881.
2. ГОСТ 6442-2014 «Мармелад. Общие технические условия» [Электронный ресурс]. – Введ. 2016-01-01. – М: Стандартинформ, 2019. 6с.



Нетрадиционное сырье в производстве конфет типа пралине

Вольга А.А. (бакалавриат, 4-го года обучения)

Научный руководитель: зав. кафедрой, доцент, Прутенская Е.А.

Конфетная масса типа широко используется не только для изготовления конфет, но и начинок. Однако, в настоящее время растет стоимость основного компонента конфет- какао бобов, из-за неустойчивости культуры к заболеваниям и условиям к окружающей среде. В связи с этим, актуальным является разработка рецептуры конфет типа с пралине с заменителем како бобов - кэрбом. К преимуществам кэроба относятся: отсутствие кофеина, теобромина, содержание белка в 4 раза меньше, чем в какао и концентрация углеводов практически 50%. Все это позитивно влияет на качество конфет. Для усиления вкуса и источника волокон в начинку добавляли вяленые ягоды и перец. Вяленая вишня благодаря специальной технологии сушки и отсутствию термического воздействия сохранила все свои полезные компоненты.

В результате эксперимента была рассчитана рецептура с заменой. Затем изготовлены конфеты по классической и разработанной рецептуре. В процессе работы была проверена массовая доля влаги двух образцов. Проведенные расчёты показали, что в конфете «Журавлина ягода» количество белка уменьшилось на 39%, содержание жира увеличилось на 2%, количество углеводов увеличилось на 54%, а энергетическая ценность уменьшилась на 15%. В конфетной массе типа пралине «Костянка», в сравнение с классической рецептурой, количество белка уменьшилось на 38%, содержание жира увеличилось на 2%, количество углеводов увеличилось на 13%, а энергетическая ценность уменьшилась на 16%.

Таким образом, разработанные конфеты могут рекомендованы покупателям, с высокой аллергенностью и высоко требовательными к количеству калорий.



Влияние СО₂-шротов мяты перечной на качественные характеристики и пищевую ценность сырцовых пряничных изделий

Дышкант Е.Е. (студент, 4-го года обучения)

Научный руководитель: ст.преп. Кудряшова Н.А.

Применение нетрадиционного сырья в производстве пищевых продуктов, особенно в кондитерской отрасли, вызывает значительный интерес среди исследователей и производителей. СО₂-шроты, получаемые методом сверхкритической экстракции, обладают уникальными свойствами, благодаря которым они могут использоваться в качестве ингредиента для улучшения органолептических и пищевых характеристик кондитерских изделий. СО₂-шроты мяты перечной сохраняют в себе высокое содержание эфирных масел, клетчатки, микроэлементов и полифенолов [1].

При экспериментальной выпечке сырцовых пряников были введены СО₂-шроты в количестве 5% от общего веса муки. Данная добавка позволила сохранить структурную целостность теста, не ухудшая его обрабатываемость. При этом добавление СО₂ шротов мяты увеличило содержание диетических волокон, что делает пряники не только более питательными, но и способствует долгосрочному насыщению и улучшению пищеварения.

В работе была проведена оценка органолептических характеристик с использованием методов сенсорного анализа. Как показали результаты, пряники с добавлением СО₂-шрота мяты перечной получили высокие оценки за мятный аромат и приятную текстуру. Кроме того, был проведен анализ влияния СО₂-шротов на сроки и условия хранения пряников. Благодаря antimикробным свойствам мяты, пряники демонстрируют лучшую устойчивость к порче и меньшую склонность к высыханию, что позволяет увеличить срок их годности.

1. Попова И.В., Новикова А.А. "Использование сверхкритической СО₂-экстракции в пищевой промышленности", Журнал научных исследований, 2020. - С. 112-119.



Технология производства мучных кондитерских изделий на примере затяжного печенья с добавлением амарантовой муки

Ефимов Е.В. (студент, 4-го года обучения)

Научный руководитель: ст. преподаватель Кудряшова Н.А.

Целью исследования является изучение технологии производства одного из видов мучного кондитерского изделия - печенья затяжного с добавлением амарантовой муки.

Затяжное печенье – это печенье плоской формы, переслоенное начинкой или без нее, со сквозными проколами на поверхности, сухой, слоистой структуры, массовой долей общего сахара не более 20%, массовой долей жира не более 30%, массовой долей влаги не более 9% [1].

Амарантовая мука - продукт переработки семян амаранта - ценное продовольственное сырье, обладающее уникальным химическим составом.

Введение 10-30% амарантовой муки в рецептуру печенья из смеси пшеничной муки практически не повлияло на его органолептические свойства, не вызывало понижение потребительских свойств и не ухудшали внешний вид печенья и соответствуют ГОСТ 24901-2014.

По физико-химическим показателям качества исследованного печенья образцов с добавлением амарантовой муки соответствуют ГОСТ 24901-2014.

Расчет пищевой и энергетической ценности показал, что с увеличением введения амарантовой муки энергетическая ценность изделия, исходя из химического состава сырья незначительно уменьшается.

Расчет биологической ценности затяжного печенья с добавлением амарантовой муки счетным методом показал, что при добавлении амарантовой муки БЦ увеличивается.

- ГОСТ 24901-2014 Печенье. Общие технические условия – Москва: Стандартинформ, 2017. – 12



Влияние дополнительного морковного сырья различной технологической обработки на качество готовых макаронных изделий

Киреев Е.С. (студент 4 курса)

Научный руководитель: к.б.н., доцент Прутенская Е.А.

В данной работе была поставлена цель изучить как ведет себя дополнительное сырье различной технологической обработки в макаронных изделиях на примере моркови в готовых образцах присутствующих на рынке.

Для проведения оценки качества были изготовлены 5 образцов: контрольный без добавления моркови, образцы с добавлением 3% на сухое вещество и 5%. Данные представлены в таблице №1 Физико-химический анализ проводился в соответствии ГОСТа 31743-2017 пункт 5.2.3. таблице №1 по следующим показателям для определения таких показателей как массовая доля золы на а.с.в, содержание белка, кислотность. Данные представлены в таблице №1 [1].

Таблица №1 Физико-химические показатели качества образцов.

| Наименование показателя | Без добавок | 3% сока | 3% сущеной | 5% сущеной | 5% сока |
|-----------------------------|-------------|---------|------------|------------|---------|
| Общая кислотность град. | 2,0 | 2,3 | 2,5 | 3,2 | 2,7 |
| Зола в пересчете на а.с.в % | 2,21 | 2,25 | 2,43 | 2,54 | 2,42 |
| Содержание влаги % | 8,9 | 4,8 | 4,9 | 5,2 | 5,4 |

- ГОСТ 31743-2017 Изделия макаронные. Общие технические условия: дата введения 2019-01-01. – Москва: Стандартинформ, 2023. – 9 с.



Факторы, влияющие на реологические свойства теста батона «Нарезной»

Кочихин Д.Д. (бакалавр, 4-го года обучения)

Научный руководитель: доцент, к.б.н. Прутенская Е.А.

Батон «Нарезной» – подовое штучное изделие, с пятью косыми надрезами, изготовленное из пшеничной хлебопекарной муки высшего сорта, массой нетто 400 грамм.

Цель работы: изучить влияние комплексного улучшителя сырья на реологические свойства теста батона «Нарезного». Для достижения цели были изготовлены пробные изделия и учитывали их реологические свойства. Для эксперимента использовали улучшители окислительного и восстановительного действия.

Реологические свойства теста – это комплексный показатель, который описывает поведение и состояние теста при замесе и в течение всего технологического процесса. Реологические свойства муки и теста не регламентируются нормативными документами. К этим свойствам относят: эластичность, растяжимость, вязкость, сопротивление, деформации. При проведении пробной выпечки учитывались влияние основных ингредиентов на качество готового продукта: мука – чем больше в муке пшеничной хлебопекарной сильной клейковины (более 28 %), тем лучше набухают белковые вещества, в следствии чего тесто поднимается в разы быстрее и сильнее; вода ускоряет действие ферментов, активно развивает жизнедеятельность бродильной микрофлоры. Растительные масла – добавляются для повышения качества и пищевой ценности, связываются с белками и крахмалом, увеличивают объем изделия и повышает эластичность мякиша. Сахар белый – при его внесении получается разрыхленный мякиш, более яркая окрашенная корка.

Как показал эксперимент, внесение комплексных улучшителей приводит к увеличению пористости, эластичности теста.



Разработка балльной шкалы для оценки эстетических показателей качества тортов

Моисеева Е.Н. (бакалавр, 4-го года обучения)

Научный руководитель: ст. преподаватель Брославская М.Н.

При исследовании эстетических показателей качества используются балльные шкалы, которые приводятся согласно определенному признаку с оцениваемыми объектами. Цель – Разработать балльную шкалу для определения эстетических показателей качества тортов. Исследование проводилось в три этапа. Первый: определение эстетических показателей, описание их характеристик, построение градации баллов. Второй: расчет отклонений баллов, определение их характеристик. Третий: проведение балльной оценки эстетических показателей качества пяти образцов торта «Киевский» различных производителей. Результаты: 1 место – образец № 2 «У Палыча» 98 баллов. 2 место – образец № 3 «Север-Метрополь» 97 баллов. 3 место – образец № 1 «Венский Цех» 96 баллов. 4 место – образец № 4 «Филли-Бейкер» 94 балла. 5 место – образец № 5 «Вкус-Вилл» 74 балла. Первые четыре образца получили статус: «Фирменный торт очень высокого качества». Пятый образец – «Фирменный торт высокого качества».

Данная балльная шкала позволяет определить уровень эстетического и художественного оформления в целом. Данная шкала была апробирована на АО «Волжский пекарь» г. Тверь.

1. Моисеева Е. Н., Брославская М.Н. Использование подсистемы 5S «Бережливое производство» при анализе художественного оформления торта «Киевский» различных производителей// Материал: 9-ая Международная молодежная научно-практическая конференция «Качество продукции: контроль, управление, повышение, планирование» [Курск], 18 ноября 2022 года. – С.131-135.



Применение кедровой обезжиренной муки в технологии хлебобулочных изделий

Орловская А.А. (студентка, 4-го года обучения)

Научный руководитель: ст. преподаватель Кудряшова Н.А.

Цель работы: повышение пищевой ценности и обогащение питательными веществами хлебобулочных изделий.

Хлебобулочное изделие - изделие, вырабатываемое из основного сырья для хлебобулочного изделия или основного сырья для хлебобулочного изделия и дополнительного сырья для хлебобулочного изделия [1].

В качестве нетрадиционного растительного сырья в технологии хлебобулочных изделий используют побочные продукты переработки кедрового ореха – мука из жмыха после получения масла [2]. Кедровая мука применяется в качестве вкусовой добавки и обогатителя микроэлементами и витаминами в производстве пищевых продуктов. Кедровая мука обезжиренная - порошок светло-кремового цвета с легким ореховым ароматом, сладковатым на вкус [3].

1. ГОСТ 32677 – 2014 «Изделия хлебобулочные. Термины и определения». – Введ. 2015-05-01.–Москва :Стандартинформ, 2015. 1 с. - [Электронный ресурс]. - URL: <https://docs.cntd.ru/document/1200113580>
2. Нилова, Л. П. Влияние муки кедрового ореха на биохимический состав изделий из пшеничной муки / Л. П. Нилова, Т. В. Шеленга, В. В. Васипов // Научно-практический журнал. – Орел : Орловский государственный университет, 2017. – С. 3 – 5.
3. Муканова, М. Ж. Кедровая мука как дополнительный функциональный продукт / М. Ж. Муканова, А. С. Серикова. - Астана : Казахский университет технологии и бизнеса.



Сравнительная оценка органолептических показателей кексов с использованием нетрадиционных видов муки

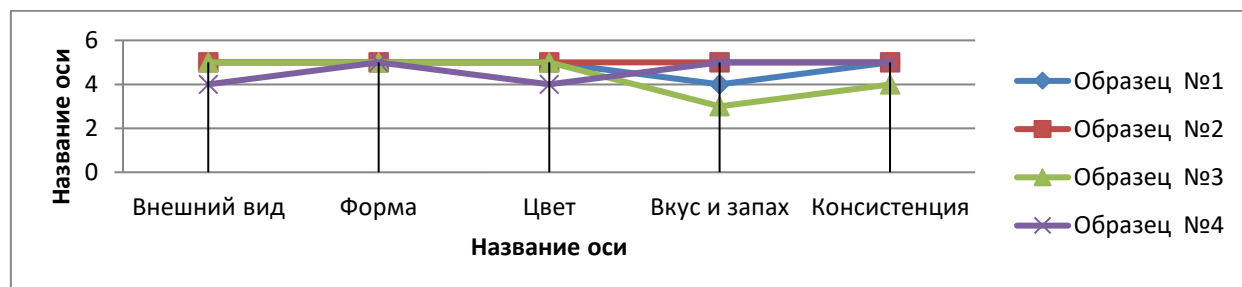
Парфентьева В.В. (студент, 4-го года обучения)

Научный руководитель: к.б.н., доцент Прутенская Е.А.

Качество кексов определяется многими органолептическими показателями. Одним из значимых показателей является объем и структура готового изделия, характер пористости, которая зависит от технологии приготовления теста. Для определения оценки качества изделий мы изготовили четыре образца с частичной заменой пшеничную муку на нетрадиционные виды муки.

| | | | |
|--|--|---------------------------------|----------------------------------|
| | | | |
| Образец № 1 Классический 100% пшеничная мука | Образец № 2 10% амарантовой муки | Образец № 3 20% овсяной муки | Образец № 4 15 % льняной муки |

Для определения потребительских свойств изученных образцов была проведена сравнительная оценка органолептических показателей по пятибалльной шкале, результаты представлены на графике.



Видно, что по всем показателем лидирует образец № 2, хотя другие образцы не сильно уступают по потребительским свойствам.

- ГОСТ 15052-2014 «Кексы. Общие технические условия»



Технология производства пастилы с использованием нетрадиционного ягодного сырья

Рожков А.П. (студент, 4-го года обучения)

Научные руководители: к.б.н., доц. Прутенская Е.А., ст. преп. Кудряшова Н.А.

Цель работы: изучить технологию производства пастилы с использованием нетрадиционного ягодного сырья и провести оценку качества готовых изделий.

Пастила разрабатывалась с использованием различных пропорций ягодного сырья: Образец №1- пастила с добавлением 95% яблочного пюре и 5% пюре ягод калины, Образец №2- пастила с добавлением 90% яблочного пюре и 10% пюре ягод калины, Образец №3- пастила с добавлением 85% яблочного пюре и 15% пюре ягод калины и Образец №4 пастила классическая «Ванильная».

Оценка готовых изделий по органолептическим показателям проводилась на соответствие требованиям ГОСТ 6441-2014. Органолептически в пастильных изделиях оценивают вкус и запах, цвет, консистенцию, структуру, форму и поверхность [1].

Таблица 1 Органолептическая оценка качества образцов №1, №2, №3, №4

| Наименование показателя | Соответствие ГОСТ 6441-2014 | | | |
|-------------------------|--|---|---|---|
| | Образец №1 пастила с добавлением 5% пюре ягод калины | Образец №2 пастила с добавлением 10% пюре ягод калины | Образец №3 пастила с добавлением 15% пюре ягод калины | Образец №4 пастила классическая «Ванильная» |
| вкус и запах | соответствует | соответствует | соответствует | соответствует |
| цвет | соответствует | соответствует | соответствует | соответствует |
| консистенция | соответствует | соответствует | соответствует | соответствует |
| структура | соответствует | соответствует | соответствует | соответствует |
| форма | соответствует | соответствует | соответствует | соответствует |
| поверхность | соответствует | соответствует | соответствует | соответствует |

В результате физико-химической оценки установлено, что все образцы полностью соответствуют требованиям ГОСТ 6441-2014.

- ГОСТ 6441-2014 Изделия кондитерские пастильные. Общие технические условия.



Секция неорганической и аналитической химии



Физико-химические характеристики пенообразователей, модифицированных водорастворимыми полимерами

Алябина Н.В. (аспирант 4 года обучения)

Научный руководитель: доцент, к.х.н. Феофанова М.А.

Обеспечение пожарной безопасности на промышленных объектах, в том числе на объектах нефтяного комплекса, обеспечивается в первую очередь наличием на объектах фторсинтетического пенообразователя АFFF или АFFF/AR.

При разработке рецептуры фторсинтетического пенообразователя, являющегося основным огнетушащим средством при горении нефтепродуктов и других горючих жидкостей, необходимой мерой для усиления пленкообразующей способности и стабилизации пенообразователя является введение в рецептуру водорастворимых полимеров.

Целью данной работы была разработка биологически мягкого фторсинтетического пенообразователя для пожаротушения типа АFFF, соответствующего всем параметрам ГОСТ Р 50588 и ГОСТ Р 53280.2.

В результате экспериментов:

1. Были подобраны процентные содержания фторПАВ, углеводородных ПАВ, растворителя.
2. Для тушения смесевых топлив был добавлен полимерный компонент, который с одной стороны повышает термическую устойчивость пены, а с другой замедляет процесс растекания и ведет к накоплению избыточного слоя пены.
3. При вводе в систему 0,2 % водорастворимого полимера (ксантановой камеди) система становилась стабильной и стала отвечать все требованиям ГОСТ и реальной действительности при тушении пожаров. Полученная система была проанализирована на все показатели ГОСТ.

Список литературы:

1. ТУ 2412-003-78148123-2005 с изм. 1-7. Пенообразователь ПО-РЗФ.



Идентификация лекарственного препарата сложного состава методом ИК-спектроскопии

Белавенцева О.А. (специалист, 5 курс)

Научный руководитель: доцент, к.х.н. Баранова Н.В.

Развитие фармацевтической индустрии направлено на создание инновационных и безопасных лекарственных средств, способных улучшить здоровье и благополучие людей. Таким образом, поиск и создание новых лекарственных средств является важным этапом в развитии медицины и фармацевтики, способствуя улучшению качества жизни и продлению человеческого существования.

В качестве объекта исследования был выбран препарат ОАО Цитрамон П «Уралбиофарм», Россия, г. Екатеринбург.

Предварительно изучены ИК-спектры в дисках калия бромида парацетамола, ацетилсалициловой кислоты, кофеина и некоторых вспомогательных веществ исследуемого препарата. После на суммарном ИК-спектре выявлены характеристические полосы данных компонентов.

В области «отпечатков пальцев» были обнаружены участки ИК-спектров, которые не перекрываются другими полосами веществ и стабильно проявляющиеся на суммарном ИК-спектре. Это полосы поглощения парацетамола при 1506 см^{-1} и 1107 см^{-1} , ацетилсалициловой кислоты – при 1094 см^{-1} и 1307 см^{-1} . Они сохраняются независимо от количественного содержания указанных веществ и подтверждают их присутствие в таблетках. Полосы поглощения кофеина в диапазоне от 400 до 1800 см^{-1} перекрываются по всему спектру полосами поглощения парацетамола и ацетилсалициловой кислоты и могут быть идентифицированы только при длине волны 755 см^{-1} .

Было установлено, что суммарные ИК-спектры позволяют определить индивидуальные вещества при совместном присутствии в многокомпонентных лекарственных средствах без предварительного разделения.

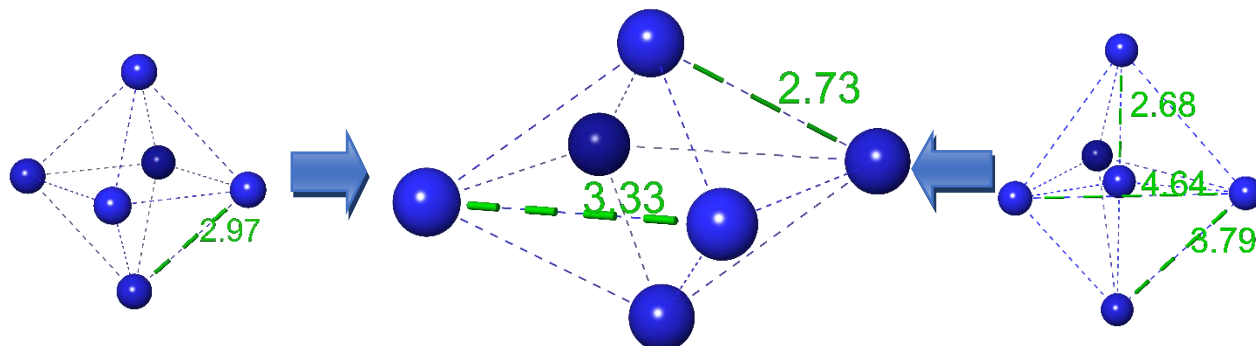
1. Арзамасцев А.П. Фармацевтическая химия / А.П. Арзамасцев – М: РАМН, 2004. – 662 с.

Квантовохимический расчёт структуры нанокластера Ag₆

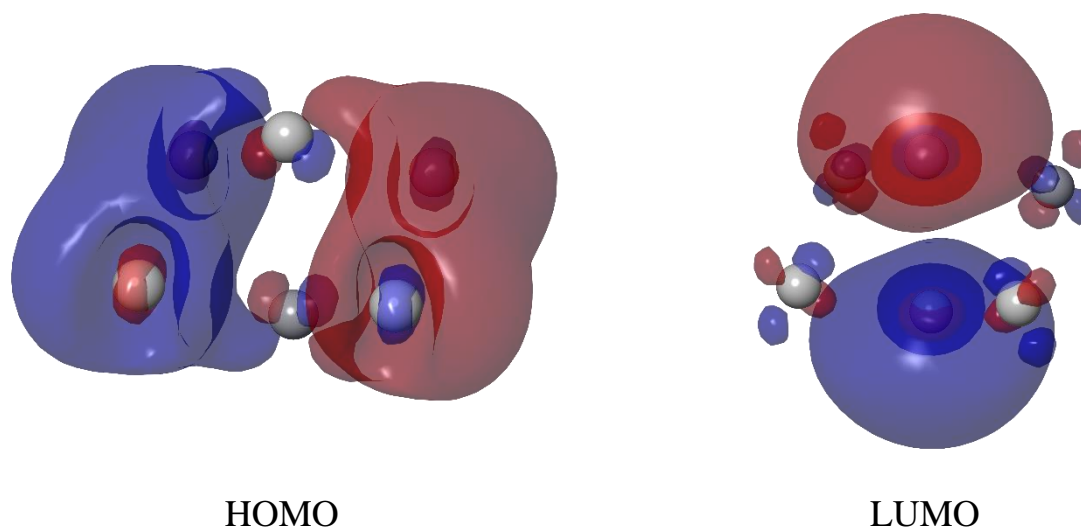
Беляева Е.А. (студентка, 5 курс)

Научный руководитель: профессор, д.х.н. Алексеев В.Г.

Структура нанокластера Ag₆ рассчитана методом DFT с использованием функционала PW6B95-D3(BJ) и базиса LACVP+, учитывающего диффузные волновые функции и влияние внутренних электронных оболочек (эффективного потенциала остова, ECP) на внешние электроны. Расчёт проведён из двух начальных состояний: 1. Шесть атомов серебра расположены в вершинах октаэдра; 2. Пять атомов серебра расположены в вершинах тригональной бипирамиды и один атом расположен в центре многогранника. В обоих случаях расчёт приводит к одинаковой структуре, в которой атомы серебра расположены по вершинам тетрагональной бипирамиды:



Расчёт показал образование молекулярных орбиталей с участием d-электронов:





Создание ионоселективного электрода для анализа цефуроксина

Варзар А.А. (студентка 2-го года обучения)

Научный руководитель: к.х.н. Минина М.В

На основе комплекса цефуроксина (Cfr) с фофорномолибденовой кислотой (ФМК) изготовили электрод и проверили его основные свойства, которые представлены в таблице 1.

Таблица 1.
Основные метрологические характеристики ИСЭ

| Крутизна электродной функции, мВ/рС | Диапазон линейности, рС | Нижний предел обнаружения, М | Рабочий диапазон, рН | Время отклика, с | Доверитель- ный интервал Δx_{cp} , г |
|--|-------------------------------|---------------------------------------|----------------------------|---------------------|---|
| 55 | 1-5 | $4,7 \cdot 10^{-5}$ | 4-7 | 15-30 | $\pm 0,003$ |

Пленочные селективные мембранны с поливинилхлоридной матрицей на основе цефуроксина с ФМК имели состав: к ЭАВ — 0.1 г добавляли 20 мл циклогексанона и 1 капля ДБФ, нагревали до 60 °С и при перемешивании небольшими порциями добавляли 0.98 г ПВХ. У полученного электрода не наблюдается изменение угла наклона электродной функции и значительный дрейф потенциала, поэтому он пригоден для прямого потенциометрического измерения концентраций растворов цефуроксина.

В диапазоне рН от 4 до 7 показание электрода не зависит от кислотности среды. В кислой области начинается экспоненциальный рост значения потенциала, сопровождающийся выпадением белого аморфного осадка, что связано с разрушением комплекса ФМК—Cfr в результате протонирования антибиотика. Падение рН в щелочной области объясняется тем, что ИСЭ на основе комплексов обладают не только катионной, но и анионной функцией.

Таким образом, изготовленный электрод с ЭАВ можно использовать для определения цефуроксина в широком диапазоне концентраций и рН в течение 2 месяцев со дня изготовления.



Компьютерное моделирование методом DFT комплексов Pt(II) с производными пиридина

Гигава А.М. (магистр, 2 курс)

Научный руководитель: доцент, к.х.н, Веселов И.Н.

Платиновые комплексы находят широкое применение в онкологии благодаря своей высокой токсичности. В то же время активно исследуются способы повышения целенаправленности онкопрепаратов, снижения их побочных эффектов на здоровые ткани и уменьшения воздействия ферментов на данные комплексы.

Пиридин и его производные встречаются повсеместно в природе и выполняют ключевые функции в жизнедеятельности организмов. Было замечено, что замена одного из лигандов на производные пиридина повышает устойчивость комплекса к действию ферментов, что дает возможность сокращать дозы лекарства и, как следствие, уменьшать его отрицательное воздействие.

Моделирование данных комплексов с помощью квантово-химических подходов, особенно с использованием метода теории функционала плотности (DFT), представляет собой особую задачу, где критически важен выбор подходящего сочетания функционала и базисного набора.

В исследовании было выполнено моделирование ряда комплексов, применяя разнообразные комбинации функционала и базисных наборов, рассмотрено влияние заместителей на характер связи Pt–NH₃.

Для комплексов были рассчитаны геометрические параметры, парциальные атомные заряды и ИК-спектры, высшая занятая (HOMO) и низшая вакантная молекулярная орбиталь (LUMO), проведено сравнение расчетных данных с экспериментальными.



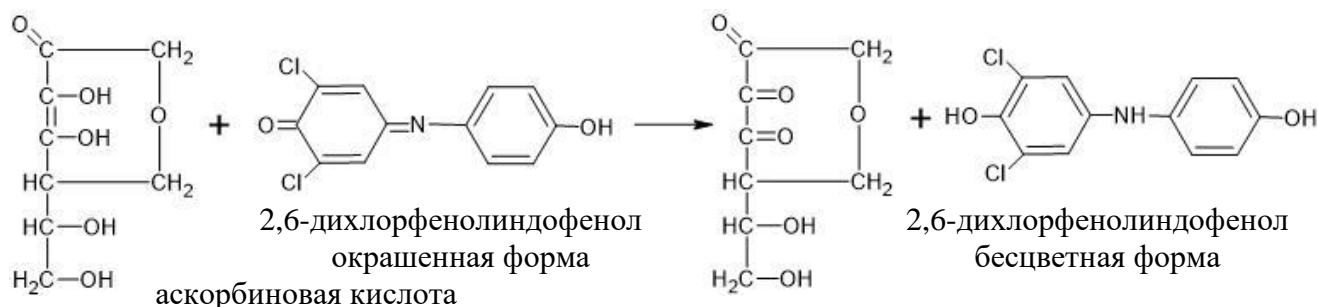
Новая методика определения аскорбиновой кислоты

Демидова Н.В. (бакалавр, 4-го года обучения)

Научный руководитель: доцент, к.х.н. Толкачева Л.Н.

Аскорбиновая кислота (АК), или витамин С, является важной составляющей в человеческом организме, так как участвует во многих окислительно-восстановительных процессах на клеточном уровне. Поэтому важным моментом является определение ее содержания в продуктах, поступающих внутрь.

С точки зрения доступности, экспрессности и точности нами был выбран спектрофотометрический метод. В качестве окрашенного реагента использовали 2,6-дихлорфенолиндофенол (ДХФИФ) ($3,5 \cdot 10^{-3}$ М) [2]. В основе метода лежит реакция восстановления аскорбиновой кислоты:



На светопоглощение и устойчивость ДХФИФ сильно влияет выбор среды. Были проведены исследования ДХФИФ при различных pH. Выявили, что синяя щелочная (pH=6,6 и 9,1) окраска индикатора гораздо интенсивнее и устойчивее красной кислой pH=3,8). АК не активна в щелочной среде, поэтому для анализа оптимальным будет выбор нейтральной среды. Суть метода заключается в измерении интенсивности окрашивания стандартного раствора ДХФИФ при $\lambda_{max}=610$ нм после контакта с АК.

Уравнение калибровочной прямой имеет вид: $y=-32,597x + 0,8497$ ($R^2=0,9883$) и линейно в интервале 0,001-0,02 мг/мл аскорбиновой кислоты.

Список литературы:

1. Ахмедова Р.И., Мирзаева Х.А. Спектрофотометрическое определение аскорбиновой кислоты в лекарственных формах // Universum: Химия и биология: электрон. науч. журн. 2016. №12(30).



DFT расчёт молекул фталоцианиновых комплексов Mg(II), Co(II), Ni(II), Cu(II), Zn(II), Pd(II)

Ермолаева А.А. (магистрант, 2-го года обучения)

Научный руководитель: доцент, д.х.н. Алексеев В.Г.

Методом DFT с использованием базиса LACV3P**++ и meta-GGA функционала $r^2\text{SCAN-D3(BJ)}$ рассчитаны компьютерные модели молекул фталоцианиновых комплексов Mg(II), Co(II), Ni(II), Cu(II), Zn(II), Pd(II). Все расчёты выполнены в программе Jaguar (Schrodinger, LLC). Выбор функционала $r^2\text{SCAN-D3(BJ)}$ был сделан на основе сравнительного расчёта с использованием нескольких функционалов (B3LYP-D3(BJ), B97-D3(BJ), BP86-D3(BJ), CAM-B3LYP-D3(BJ), M06-2X-D3, MN15-L, PBE-D3(BJ), PW6B95-D3(BJ), $r^2\text{SCAN-D3(BJ)}$) молекулы фталоцианата Co(II), структура которой была исследована экспериментально методом PCA. Рассчитанные значения E(HOMO), E(LUMO) и $E_g = E(\text{LUMO}) - E(\text{HOMO})$ представлены в табл. 1 в сравнении с экспериментальными данными. Лучшие результаты при расчёте энергии электронных орбиталей фталоцианиновых комплексов металлов методом DFT даёт использование функционалов $r^2\text{SCAN-D3(BJ)}$, PBE-D3(BJ), BP86-D3(BJ).

Таблица 1

Значения энергий электронных орбиталей в молекулах фталоцианатов металлов

| Энергия, эВ | Молекула | | | | | |
|-------------------------|----------|-------|-------|-------|-------|-------|
| | MgPc | CoPc | NiPc | CuPc | ZnPc | PdPc |
| E(HOMO) расчёт | -5.00 | -4.99 | -5.02 | -5.01 | -5.02 | -5.10 |
| E(HOMO) эксперимент [1] | - | -5.0 | -5.3 | -5.2 | -5.0 | - |
| E(LUMO) расчёт | -3.53 | -3.44 | -3.47 | -3.52 | -3.53 | -3.50 |
| E(LUMO) эксперимент [1] | - | -3.4 | -3.6 | -3.6 | -3.4 | - |
| E_g расчёт | 1.47 | 1.55 | 1.55 | 1.49 | 1.49 | 1.60 |
| E_g эксперимент [1] | - | 1.6 | 1.7 | 1.6 | 1.6 | - |

1. Ikushima A.J., Kanno T., Yoshida S., Maeda A. // Thin Solid Films. 1996. V. 273. Iss. 1-2. P. 35–38.



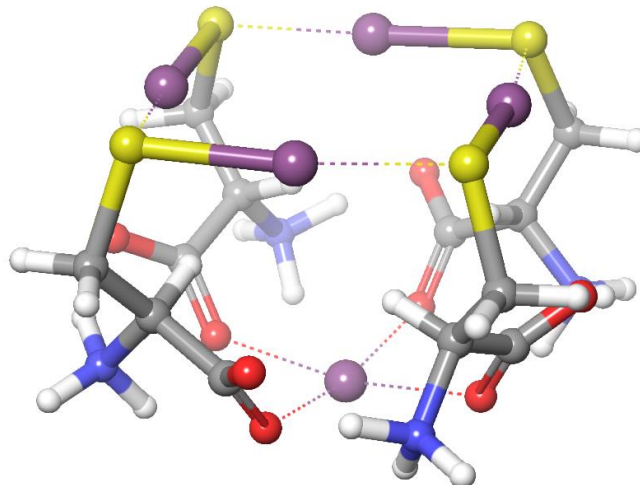
Квантово-химическое моделирование олигомеров цистеината серебра

Изоитко Д.В. (студент, 4 курс)

Научный руководитель: доцент, к.х.н., Веселов И.Н.

Известно, что при стандартных условиях водные растворы L-цистеина и нитрата серебра способны формировать стабильные гидрогели, даже если концентрация реагентов составляет всего около 0.01%. Процесс гелеобразования начинается с формирования стабильных цвиттер-ионов цистеина серебра, после чего они объединяются в организованные надмолекулярные структуры благодаря нековалентным взаимодействиям между атомами серы и серебра.

При этом, наилучшее соотношение L-цистеина и нитрата серебра составляет 4:5. Профессором, д.х.н., Алексеевым В.Г. было предложена возможность существования сложных комплексов, состоящих из 4 цвиттер-ионов цистеина серебра и дополнительного, пятого, иона серебра $[Ag_5Cis_4]^+$.



Целью данной работы было изучение стабильности и возможности формирования более крупных агрегатов из рассматриваемых структур, учитывая влияние растворителя. Для этого использовался метод теории функционала плотности (DFT) с функционалом B3LYP-D3 и базисным набором LANL2DZ. Результаты расчетов указывают на относительную стабильность этих комплексов и их способность к объединению в надмолекулярные структуры через нековалентные и электростатические взаимодействия.

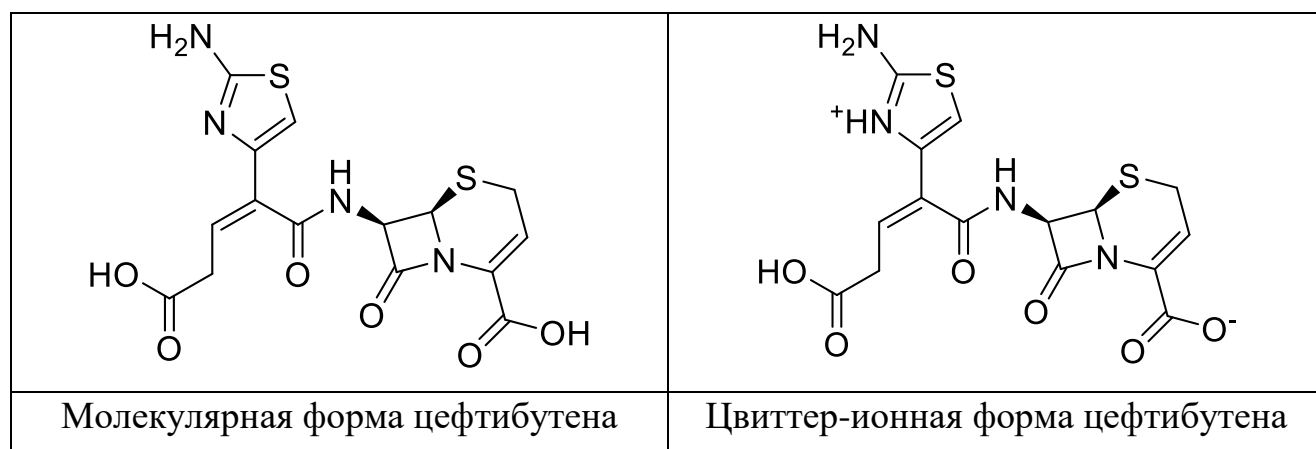


ИК спектр цефтибутина: экспериментальные данные и квантовохимический расчёт

Козлова Е.Д. (магистрантка, 2 год обучения)

Научный руководитель: профессор, д.х.н. Алексеев В.Г.

Цефтибутин – антибиотик группы цефалоспоринов. Молекула цефтибутина содержит две карбоксильные группы и аминотиазольную и теоретически может образовывать цвиттер-ион.



Методом функционала электронной плотности с использованием функционала BLYP-D3 и базиса 6-31G**++ проведён расчёт ИК спектров молекулярной и цвиттер-ионной форм цефтибутина. Расчётные значения волновых чисел (см^{-1}) наиболее интенсивных полос поглощения представлены в таблице в сравнении с экспериментальными значениями. Сопоставление экспериментальных и расчётных данных показывает, что в твёрдом состоянии цефтибутин существует в молекулярной форме.

| Колебание | Экспериментальные данные | Молекулярная форма | Цвиттер-ионная форма |
|------------------------------------|--------------------------|--------------------|----------------------|
| бета-лактам | 1770 | 1773.9 | 1759.0 |
| карбоксильная группа боковой цепи | | 1718.0 | 1727.8 |
| карбоксильная группа ядра молекулы | 1699 | 1707.4 | – |
| амидная группа | 1651 | 1651.7 | 1675.0 |



Физико-химические методы анализа комбинированных лекарственных средств

Кравец О.Б. (магистрант, 2-го года обучения)

Научный руководитель: доцент, к.х.н. Баранова Н.В.

Среди витаминов важную роль играет аскорбиновая кислота, которая участвует в окислительно-восстановительных процессах в человеческом организме. Поэтому анализ аскорбиновой кислоты – одна из важных задач идентификации синтетических фармацевтических препаратов [1].

Было определено количественное содержание аскорбиновой кислоты в драже аскорбиновой кислоты, витаминах "Витрум Вижн Плюс" и "Унdevit" (при совместном присутствии с никотиновой кислотой) методом алкалиметрического титрования [2].

Таблица 1

Результаты количественного определения аскорбиновой кислоты

| Объект исследования | $m_{\text{теор}}, \text{г}$ | $m_{\text{пр}}, \text{г}$ |
|---|---|---|
| Аскорбиновая кислота, АО «Фармстандарт» | 0,250 | 0,264 |
| Витрум Вижн Плюс, ООО "Такеда Фармасьютикалс" | $M C_6H_8O_6 = 0,060$ | $m C_6H_8O_6 = 0,053$ |
| Унdevit, ЗАО «Алтай Витамины» | $M C_6H_8O_6 = 0,075$ $m C_6H_5NO_2 = 0,028$ | $m C_6H_8O_6 = 0,082$ $m C_6H_5NO_2 = 0,020$ |

Содержание определяемого компонента соответствует заявленному.

Можно сделать вывод о подлинности исследуемых препаратов.

Список литературы:

1. Тыжигирова В. В. Анализ комбинированный лекарственных препаратов / В. В. Тыжигирова. – Иркутск: ИГМУ, 2016. – 107 с.



Исследование комплексообразования иминодиянтарной кислоты с борной кислотой

Марулева А.Е. (студент, 5-го года обучения)

Научный руководитель: доцент, к.х.н. Толкачева Л.Н.

В настоящее время комплексоны широко используются в фармации, медицине, пищевой промышленности в качестве антидотов, консервантов и компонентов лекарственных препаратов.

Иминодиянтарная кислота (ИДЯК, H_4L) относится к классу дикарбоновых кислот и является аналогом известной иминодиуксусной кислоты, в которой два фрагмента уксусной кислоты заменены янтарной кислотой. Но в отличии от иминодиуксусной кислоты ИДЯК, попадая в окружающую среду подвергается биодеструкции распадаясь на аминокислоты [1].

На первом этапе исследования pH-потенциометрическим методом нами были определены константы устойчивости ИДЯК при 25°C и ионной силе раствора 0,1 в среде KNO_3 . Расчет проводился с помощью программ New DALSFEK и AUTOEQUIL. Полученные результаты хорошо согласуются между собой и с литературными данными.

На втором этапе в тех же условиях провели исследование процессов комплексообразования с борной кислотой, которая широко применяется в сельском хозяйстве и других отраслях промышленности. Обнаружено образование средних и протонированных комплексов, логарифмы констант устойчивости которых соответственно равны 4,85 и 13,31.

Можно сделать вывод о возможности и целесообразности использования бора в виде комплексоната ИДЯК, например, в сельском хозяйстве.

Список литературы:

1. Смирнова Т. И. // Вестник ТвГУ. Серия: Химия. 2015. № 3. С. 40–45.



Исследование соединений кальция в силикатобетоне

Плахотник В.А. (студент, 5 курс)

Научный руководитель: профессор, д.х.н. Никольский В.М.

Автоклавные ячеистые бетоны и изделия из них всё шире применяются в строительстве в России и за рубежом [1]. Это обусловлено повышенными тепло- и звукоизоляционными характеристиками при приемлемых прочностных характеристиках.

Количественное определение кальция в ячеистом бетоне методом рентгеновского энергодисперсионного микронализа на приборе Oxford INCA Energy 350 показало его содержание 18%. Для объективности исследования нами был проведен анализ содержания кальция классическими мокрыми методами. Весовым анализом с оксалатом аммония [2] установлено содержание кальция $17,42 \pm 2$ весовых %, а сульфатным методом с сульфатом натрия [2] определено содержание кальция $17,84 \pm 2$ весовых %.

Анализ показал, что образцы ячеистого бетона содержат плохо закристаллизованный тоберморит и ксонотлит. Причем ксонотлит является преобладающей в 1,5 - 2 раза фазой в системе. Это объясняется неравномерностью структуры ячеистого бетона, тогда как мокрые методы анализа предусматривают предварительный перевод всего кальция испытуемых образцов в раствор с последующим определением его суммарного количества в этом растворе.

Список литературы:

1. Бутт Ю.М., Рашкович Л.М. Твердение вяжущих при повышенных температурах, М.: Стройиздат, 1965, 244 с.
2. Анализ минерального сырья / Под общ. ред. Ю. Н. Книпович, Ю. В. Морачевского, 3-е изд., перераб. и доп., Ленинград: Госхимиздат, 1959, С. 92-94.



Исследование долевого распределения частиц в водных системах лантаноид-гепарин

Скобин М.И. (молодой учёный)

Научный руководитель: декан, к.х.н. Феофанова М.А.

Были исследованы системы Ln^{3+} - H_2O - Геп³⁻ (Ln^{3+} : La^{3+} , Ce^{3+} , Pr^{3+} , Nd^{3+} , Sm^{3+} , Eu^{3+} , Gd^{3+} , Tb^{3+} , Dy^{3+} , Ho^{3+} , Er^{3+} , Tm^{3+} , Yb^{3+} , Lu^{3+}) методами рН-метрии и математического моделирования. Определено, что во всех системах существуют следующие частицы: Геп³⁻, Ln^{3+} , НГеп²⁻, LnHep . На рис. 1 представлена диаграмма долевого распределения частиц для системы Ce^{3+} - H_2O - Геп³⁻. Все изученные системы, имеют схожие диаграммы в связи с малым количеством различий в протекающих процессах.

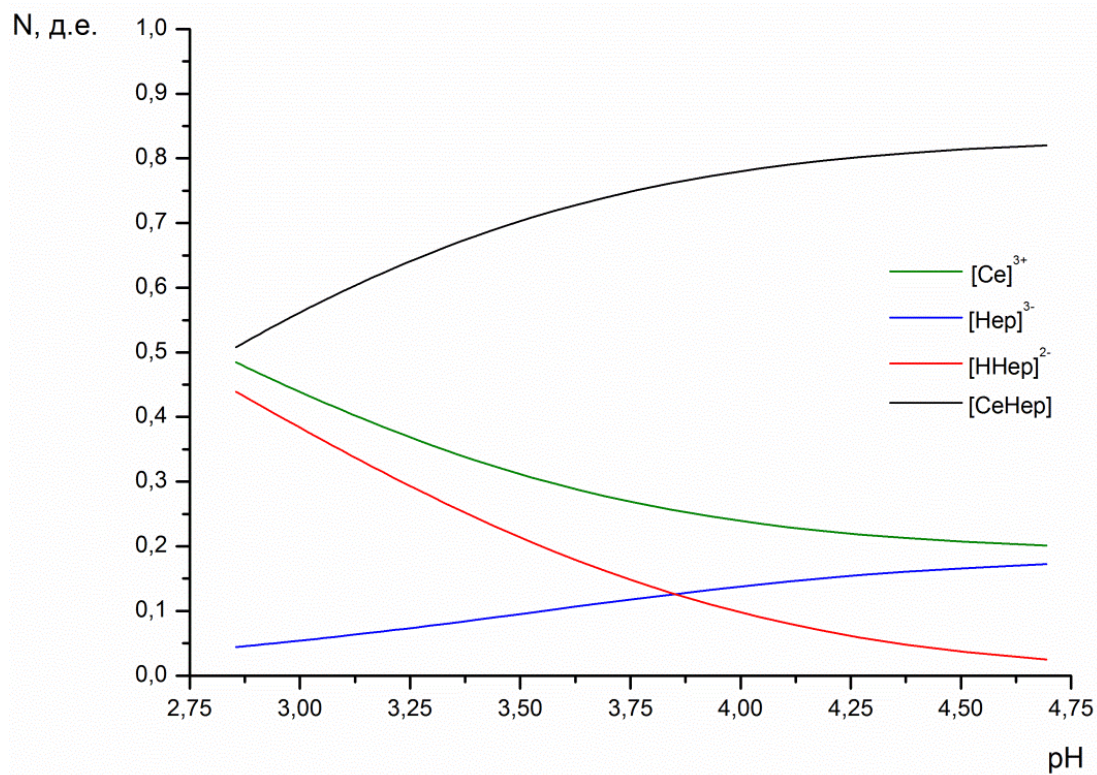


Рис. 1. Диаграмма долевого распределения содержания комплексных форм

В результате анализа полученных диаграмм было обнаружено, что во всем исследуемом интервале рН образуются средние комплексы. Можно определить максимальный выход (около 80%) для всех комплексов гепарина с ионом лантаноида во всех экспериментальных системах.

Выявлены интервалы значений рН, в которых преимущественно образуются комплексы состава $[\text{LnHep}]$ и не протекает гидролиз лантаноида. Величина рН = 4.75 является оптимальной при синтезе комплексов гепарина с лантаноидами, а при $\text{pH} \geq 5.5$ в значительной степени протекает гидролиз.



Исследование комплексов Cu(II) и Ag(I) с цефуроксимом

Сутутина К.А. (магистр, 2 курс)

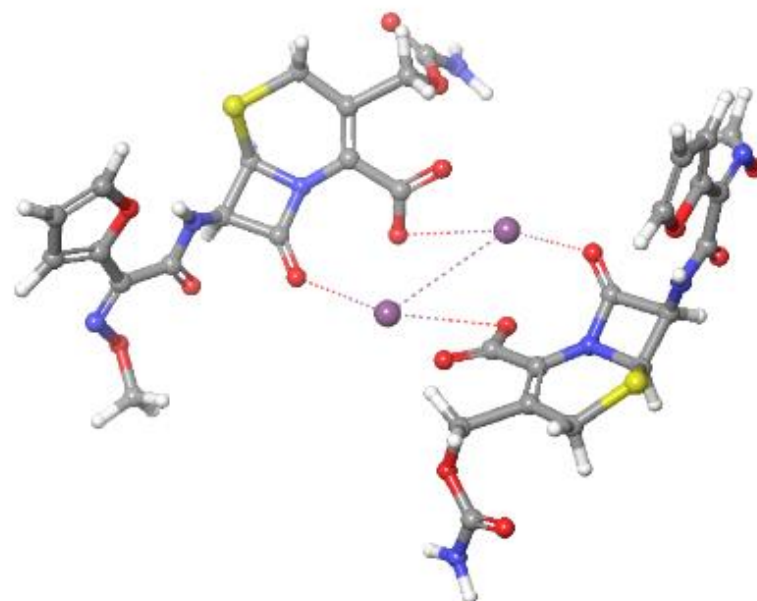
Научный руководитель: доцент, к.х.н., Веселов И.Н.

Цефуроксим является антибиотиком из группы цефалоспоринов, обладающим широким спектром действия против различных бактерий. Он включен в список жизненно необходимых и важнейших лекарственных препаратов медицинского назначения. С помощью метода квантовой химии, основанного на теории функционала плотности (DFT), были проанализированы комплексы цефуроксина с ионами меди (II) и серебра (I).

Используя метод

DFT, была выполнена оптимизация структуры комплексов и определены их геометрические параметры.

Чтобы убедиться в точности полученных структур, были вычислены инфракрасные спектры соединений и



проведено сравнение теоретических линий с линиями, полученными в ходе экспериментальных исследований.

Для серебряного комплекса было выдвинуто предположение о структуре $[Ag_2(CRX)_2]$, в которой пара ионов серебра образует мостики между атомом кислорода карбонильной группы β -лактамного кольца одного лиганда и карбоксиатной группой другого. В этом случае карбаматная группа не принимает участие в формировании комплекса. Расстоянием между атомами серебра 3.5 Å.



Потенциометрические характеристики ионоселективного электрода с откликом на амоксициллин

Сухорукова А.А. (студентка, 5 курс)

Научный руководитель: доцент, к.х.н. Минина М.В.

Амоксициллин — лекарственное средство, полусинтетический антибиотик широкого спектра действия группы пенициллинов для лечения бактериальных инфекций.

Потенциометрические методы, в частности, с использованием ионоселективных электродов (ИСЭ) выгодно отличаются от других методов простотой и экспрессивностью анализа. Целью работы было создание ИСЭ для определения антибиотика в лекарственных препаратах, биологических средах, пищевых продуктах, сточных водах фармацевтических предприятий и других объектах.

В работе использовали амоксициллин, фосфорно-молибденовую (ФМК) и фосфорновольфрамовую (ФВК) кислоты, поливинилхлорид (ПВХ) марки С-70 х.ч., циклогексонон ч.д.а., дибутилфталат (ДБФ). Электродноактивное вещество (ЭАВ) получали добавлением к раствору амоксициллина растворов ФВК и ФМК в соотношении 1:1. Пленочные селективные мембранные с поливинилхлоридной матрицей на основе амоксициллина с ФМК и ФВК имели состав: ПВХ – 98%, ДБФ – 1%, ЭАВ – 1%. ИСЭ перед применением вымачивали в 0,01 М растворе амоксициллина. Потенциометрические характеристики ИСЭ:

| | Диапазон линейности отклика, моль/л | Наклон электродной функции S, мВ | Предел обнаружения, моль/л | Время отклика, с | pH |
|-----|-------------------------------------|----------------------------------|----------------------------|------------------|-------|
| ФМК | 10^{-1} — 10^{-4} | 44 | 10^{-4} | 30 | 3–6,5 |
| ФВК | 10^{-1} — 10^{-5} | 40 | 10^{-5} | 45 | 2 – 6 |

Определение амоксициллина в готовых лекарственных формах показало работоспособность созданного ИСЭ.



Исследование структурных параметров $[\text{Co}(\text{S}_2\text{CNEt}_2)_3]$ методом DFT

Топытчак А.М. (студент, 5 курс)

Научный руководитель: доцент, к.х.н. Веселов И.Н.

Трис-диэтилдитиокарбамат кобальта (III) – мономерное комплексное соединение, которое входит в состав противоопухолевых препаратов. Данное соединение имеет искаженную октаэдрическую геометрию.

Цель работы: подобрать оптимальную систему функционал-базис для корректного расчета геометрических параметров $[\text{Co}(\text{S}_2\text{CNEt}_2)_3]$ методом функционала плотности (DFT).

В представленной работе были рассмотрены функционалы различного типа: GGA (BLYP-D3), Meta (M05-D3, M11-L), Hybrid (B3LYP-D3, ωB97X-D). А также использованы базисные наборы, включающие поляризационные и диффузные функции (6-31G++**, LAV3P++**, LACVP++**, LACV3P++**).

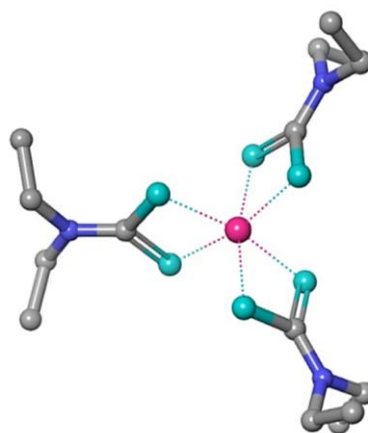


Рис.1. Изображение модели комплекса $[\text{Co}(\text{S}_2\text{CNEt}_2)_3]$

Функционал M05-D3 (Meta-функционал) и базисный набор 6-31G++**, обеспечивают большую сходимость экспериментальных геометрических параметров комплекса с исходными литературными данными [1].

Список литературы:

1. Ayyavoo S.S., Ramalingam B. Trisdithiocarbamate of Co(III) complexes // Molecular Structure – 2017 – Vol. 1134. – P. 416 – 425.



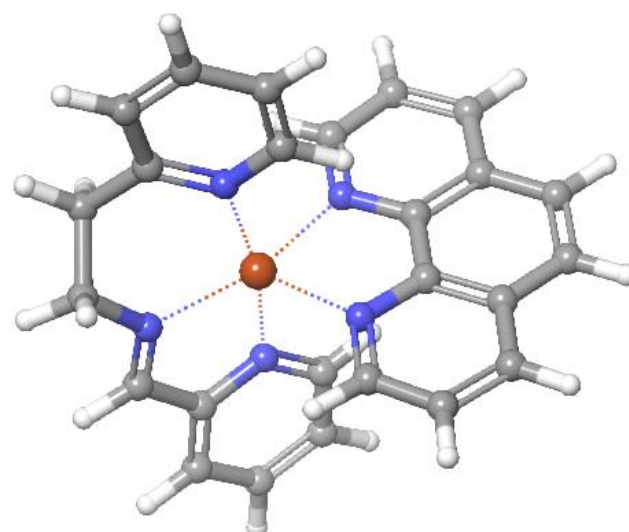
Квантово-химическое моделирование смешанно-лигандных комплексов переходных металлов с 1,10-фенантролином

Удалова А.С. (студент, 4 курс)

Научный руководитель: доцент, к.х.н, Веселов И.Н.

При синтезе комплексных соединений часто используется подход, при котором в одном комплексе сочетаются несколько разных лигандов (при этом одни из них обладают выраженной функциональной активностью, а другие – сродством к определенному субстрату). Это позволяет создавать соединения, обладающие высокой биологической активностью и при этом эффективностью. 1,10-фенантролин часто используют в качестве вспомогательного лиганда из-за его хорошего сродства с ДНК при разработке противоопухолевых и противовирусных препаратов [1].

Методом квантово-химического моделирования DFT были смоделированы комплексные соединения на основе ионов кобальта (II), никеля (II) и меди (II). Определены подходящие функционал и базисный набор, рассчитаны геометрические параметры комплексов, колебательные ИК и УФ-спектры. Проведенное сравнение расчетных и экспериментальных полос поглощения подтвердило корректность построенных моделей и выбор параметров DFT.



[1] Dagli at all. The mixed ligand complexes of Co(II), Ni(II), Cu(II) and Zn(II) with coumarilic acid/1,10-phenanthroline // Journal of Thermal Analysis and Calorimetry. 2018. Doi:10.1007/s10973-018-7773-y/



Определение фосфора в клубнях картофеля

Хомякова К.Н. (магистрант 1 года обучения)

Научный руководитель: профессор, д.х.н. Никольский В.М.

Фосфор является обязательной составной частью живой клетки растений, он входит в состав нуклеиновых кислот, участвующих в процессе синтеза белков и передачи наследственных свойств. Фосфор содержится также в веществах, определяющих направление и скорость биохимических процессов в растениях, – в витаминах, гормонах, ферментах. Особенno велика роль фосфора в процессах дыхания растений и синтеза углеводов – крахмала, сахаров. Кроме того, фосфор входит в состав других органических соединений, имеющих большое значение в жизни растений: фосфатидов, фитина, сахарофосфатов и других [1].

Для проведения анализа клубней картофеля сортов Гала, Сюрприз и Северное сияние на содержание фосфора был использован фотометрический метод (ГОСТ 26657–97), а также, в качестве экспериментального экспресс-метода, был применен электронно-зондовый рентгеноспектральный микроанализ.

Таблица 1. Сравнение результатов фотометрического и электронно-зондового рентгеноспектрального анализов

| Сорт | Массовая доля фосфора, % (фотометрический метод) | Содержание фосфора, вес. % (элементный анализ) |
|-----------------|---|---|
| Гала | 0,049 | 0,026 – 0,059 |
| Сюрприз | 0,048 | 0,028 – 0,070 |
| Северное сияние | 0,037 | 0,032 – 0,157 |

Концентрации макроэлементов, полученные в результате проведения электронно-зондового рентгеноспектрального микроанализа, оказались сопоставимыми с концентрациями, полученными фотометрическим методом. Данный метод можно использовать для определения ориентировочных концентраций фосфора, однако для более точного результата необходимо провести иной инструментальный анализ.

Список литературы:

1. Алимкулов С.О. Биологическая роль фосфора в жизни растений / С.О. Алимкулов, Д.К. Мурадова // Молодой ученый. – 2015. – №10. – С. 44-47.



Ионоселективный электрод для определения новокаинамида потенциометрическим методом

Хохлова А.В. (магистрант, 2-го года обучения)
Научный руководитель: доцент, к.х.н., Мантров Г.И.

Потенциометрические методы основаны на использовании зависимости равновесного потенциала электрода, опущенного в раствор, от активности (концентрации) ионов этого раствора [1]. Прямая потенциометрия (ионометрия) – это метод, в котором индикаторным является ионоселективный электрод. Для его реализации достаточно подобрать соответствующий ионоселективный электрод для определяемого иона [2]. Применение этого метода для определения новокаинамида не описано в литературе, поэтому целью настоящей работы явилось создание ИСЭ для определения последнего и изучение его потенциометрических характеристик в готовых лекарственных формах.

В работе использовали новокаинамид (в виде гидрохлорида) фармакопейной чистоты, фосфорно-молибденовую (ФМК) и фосфорно-вольфрамовую (ФВК) кислоты ч.д.а., диоктилфталат (ДОФ) ч.д.а., поливинилхлорид (ПВХ) марки С-70 х.ч. Электродноактивные вещества (ЭАВ) получали добавлением к раствору новокаинамида растворов гетерополикислот (ФВК и ФМК) до полного выпадение осадка. Пластифицированные мембранны ИСЭ изготавливались на основе новокаинамида и имели состав (в масс. %): ПВХ–90, ДОФ–5, ЭАВ–5. Для определения электродных характеристик использовали электрохимическую ячейку. Изготовленные электроды обладали хорошими потенциометрическими характеристиками. Интервал линейности электродной функции находился в промежутке 1–4 рС, крутизна электродной функции близка к теоретическому значению Нернстовской величины функции (59 мВ) и составляла 46,8 мВ/рС (ФМК) и 50,3 мВ/рС (ФВК), время отклика 8–10 с. Работе электродов не мешало наличие неорганических катионов (Na, Ca, K) биологических систем, функционирование электродов не зависило от pH в диапазоне от 4 до 7,5, что делало этот интервал наиболее подходящим для определения новокаинамида. Диапазон линейности электродной функции и ее крутизна позволяют надеяться на успешное практическое использование изготовленного ИСЭ.

1. Отто М. Современные методы аналитической химии / ред. А. В. Гармаш. – 3-е изд. – М.: Техносфера, 2008. – 544 с.
2. Нечипоренко А.П. Физико-химические (инструментальные) методы анализа. Электрохимические методы. Потенциометрия и кондуктометрия: Учеб.-метод. пособие / Под ред. В.В. Кириллова. – СПб.: НИУ ИТМО; ИХиБТ, 2013. – 34 с.



Вольтамперометрический анализ пищевых добавок на содержание йода

Шевченко М.А. (студент, 4-го года обучения)

Научный руководитель: д.х.н, доцент В.Г. Алексеев

Йод – один из важнейших микроэлементов в биохимии организма человека. Недостаток йода приводит к развитию серьёзных заболеваний. Для компенсации недостатка йода в продуктах питания используют йодсодержащие пищевые добавки.

В данной работе представлены результаты анализа пищевых добавок Smart Kid® «Банан-яблоко», Promax Фукус, Vertera Forte, Vertera Forte «Вишня» производства фирмы «Vertera» (<https://vertera.org/>) методом инверсионной вольтамперометрии с использованием прибора TA-Lab («ТомьАналит», Россия) в соответствии с методическими указаниями МУ 31-07/04 «Определение йода в пищевой продукции». Результаты представлены в табл. 1. Во всех случаях содержание йода в образцах соответствует допустимому интервалу значений, заявленных производителем.

Таблица 1:

Результаты вольтамперометрического определения содержания йода в пищевых добавках

| Название | Найдено \bar{x} , мг/кг | Заявлено производителем, мг/кг |
|---------------------------|---------------------------|--------------------------------|
| Smart Kid® «Банан-яблоко» | $1,172 \pm 0,041$ | 1,100 |
| Vertera Forte «Вишня» | $4,160 \pm 0,165$ | 4,200 |
| Promax Фукус | $51,067 \pm 1,805$ | 50,000 |
| Vertera Forte | $9,367 \pm 1,006$ | 9,000 |



Квантово-химическое исследование комплексов переходных металлов с основаниями Шиффа группы N₂O₂

Юлова А.А. (магистр, 2 курс)

Научный руководитель: доцент, к.х.н., Веселов И.Н.

Шиффовы основания как лиганды привлекают значительное внимание в области координационной химии благодаря их уникальной способности образовывать комплексы с различными переходными металлами. Эти соединения обладают широким спектром применений, включая катализ, разработку фармацевтических средств, а также создание химических и оптических датчиков.

К группе «N₂O₂» относятся основания Шиффа, которые координируются с ионом металла в четырех точках (через два атома кислорода и два азота), образуя прочные хелатные комплексы.

В данной работе с использованием метода теории функционала плотности (DFT) были проанализированы комплексы, сформированные из лиганда, полученного в результате реакции 2-гидрокси-6-изопропил-3-метилбензальдегида с 1,2-диаминпропаном, и переходных металлов: марганец (Mn), кобальт (Co) и никель (Ni). Согласно литературным данным, для марганца и кобальта характерно формирование одиночных хелатных комплексов типа [ML], тогда как для никеля характерно образование димеров [NiL]₂ с металлической связью Ni–Ni, структура которых вызывает особый интерес.

В результате исследования были определены подходящие функционал и базисный набор (с учетом наличия металлической связи Ni–Ni). Были вычислены геометрические характеристики комплексов, их ИК-спектры, а также выполнено сопоставление полученных результатов расчета с экспериментальными данными.



Определение тиамина гидрохлорида в лекарственных формах

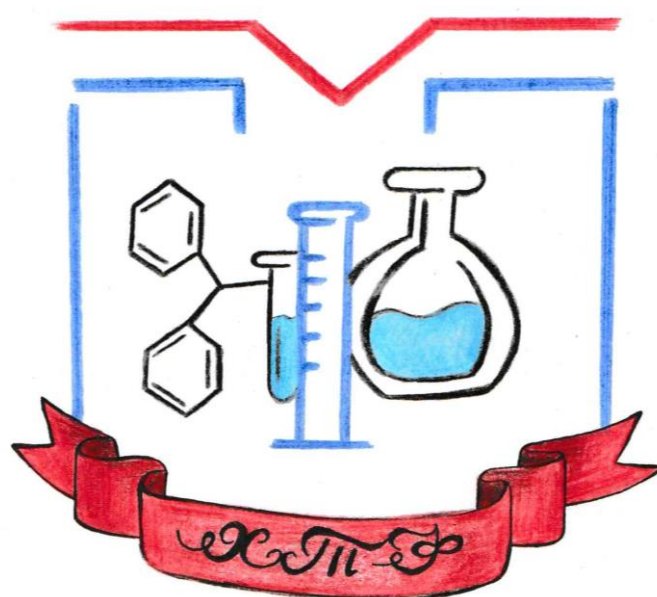
Яковлева В.Р. (Студентка, 5 курса специалитета)

Научный руководитель: доцент, к.х.н. Мантров Г.И., ассистент Крюков Т.В.

Потенциометрические методы с использованием ионоселективных электродов (ИСЭ) выгодно отличаются простотой и экспрессностью анализа. Целью настоящей работы явилось создание ИСЭ для определения тиамина гидрохлорида, изучение его потенциометрических характеристик и разработка методики потенциометрического определения в готовых лекарственных формах [1].

В работе использовали тиамин гидрохлорид фармакопейной чистоты, фосфорномолибденовую (ФМК) и фосфорновольфрамовую (ФВК) кислоты ч.д.а., диоктилфталат (ДОФ) ч.д.а., поливинилхлорид (ПВХ). Электроактивные вещества (ЭАВ) получали добавлением к раствору тиамина растворов гетерополикислот до полного выпадение осадка. ИСЭ вымачивали в растворе 0,01 М. тиамина в течении 1-2 суток. Изготовленные электроды обладали хорошими потенциометрическими характеристиками. Интервал линейности электродной функции находится в промежутке 2-6 рС, крутизна электродной функции составляет 47 мВ/рС для ИСЭ на основе ФВК и 51 мВ/рС для ИСЭ на основе ФМК, время отклика составляло 8-10 с., значение потенциалов электродов постоянно в диапазоне pH от 4 до 6, что делает этот интервал наиболее подходящим для определения тиамина [2]. Определение тиамина гидрохлорида в готовых лекарственных формах показало работоспособность созданного ИСЭ и позволило надеяться на успешное практическое применение.

1. Н.Я. Логинов. Аналитическая химия: учеб. Пособие / Н. Я. Логинов, А. Г. Воскресенский, И. С. Солодкин. – М.: «Просвещение» 1975.– 478 с.
2. Государственная фармакопея Российской Федерации. 15-е изд. М.: Научный центр экспертизы средств медицинского применения, 2018.



Секция органической химии



Влияние строения оксосоединений на свойства фенилгидразонов

Александрова А.И. (студент, 5 курс)

Научный руководитель: доцент, к.х.н. Егорова И.Ю.

Постоянно возрастающий интерес к химии гидразонов обусловлен спецификой электронного и пространственного строения их молекул, необычайно широкими синтетическими возможностями и многочисленными спектрами практического использования представителей этого класса соединений. Производные гидразона активно изучаются в связи с проблемами онкологии, генетики, сельского хозяйства и технологии синтетических материалов.

Представленная работа посвящена изучению влияния строения оксосоединений на свойства полученных фенилгидразонов. Взаимодействием фенилгидразина и пропанона, гексаналя, бензальдегида и 4-гидрокси-3-метоксибензальдегида получены фенилгидразоны перечисленных оксосоединений. Схема реакции представлена ниже:

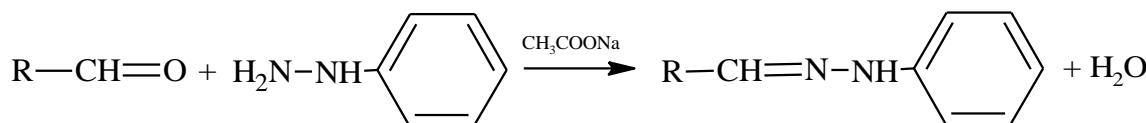


Рис. Общая схема реакции получения фенилгидразонов

Полученные соединения идентифицированы по температуре плавления, однако не удалось выделить в виде кристаллического осадка фенилгидразон гексаналя.

Для исследования реакционной способности полученных производных, синтезированы формазаны, взаимодействием фенилгидразонов 4-гидрокси-3-метоксибензальдегида и бензальдегида с хлоридом фенилдиазония.

Определены температура плавления и растворимость полученных соединений, с помощью ИК-спектроскопического анализа подтверждено строение синтезированных азогидразонов.



Влияние структуры хлорцинкатных ионных жидкостей на размер квантовых точек сульфида цинка

Арефьев А.А. (магистрант 2-го года обучения)

Научный руководитель: доцент, к.х.н. Журавлев О.Е.

Квантовые точки (КТ) являются важными материалами, свойства которых можно варьировать, меняя их размер, ввиду чего они находят все большее применение. Но из-за их высокой реакционной способности и склонности к агрегации необходимо их стабилизировать, с чем могут справиться ионные жидкости (ИЖ).

Целью данной работы было изучить влияние пиридиниевых хлорцинкатных ИЖ на размер образующихся квантовых точек сульфида цинка, синтезированных путем их взаимодействия с сульфидом натрия.

Квантовые точки сульфида цинка получали взаимодействием эквимолярных количеств сульфида натрия и хлорцинкатных ИЖ. Размеры полученных частиц устанавливали методами УФ-спектроскопии, рентгенофазового анализа (РФА), атомно-силовой (АСМ) и растровой электронной микроскопии (РЭМ). Ниже в таблице приведены используемые в синтезе ИЖ и размеры, полученных частиц.

Таблица

Размеры КТ ZnS, полученные различными методами

| № | Используемая ИЖ | d, нм(УФ) | d, нм(АСМ) | d, нм (РЭМ) | d, нм (РФА) |
|---|--|---------------|------------|-------------|-------------|
| 1 | PyC ₁₆ Br·ZnCl ₂ | >34 | 178 | - | - |
| 2 | PyC ₁₂ Br·ZnCl ₂ | 2,0; 2,2; 2,7 | 82 | 96 | 4,15 |
| 3 | PyC ₁₀ Cl·ZnCl ₂ | 5,0 | 50 | - | 4,04 |
| 4 | PyC ₈ Br·ZnCl ₂ | 2,5 | 50 | 65 | 4,92 |
| 5 | PyC ₄ Br·ZnCl ₂ | 2,8; 3,8 | 104 | 100 | 3,97 |
| 6 | PyC ₄ Cl·ZnCl ₂ | 4,6 | 100 | 106 | 3,89 |



Исследование пеногасящей способности бинарных смесей поверхностно-активных веществ

Белякова А.С. (студентка 4-го года обучения)

Научный руководитель: к.х.н., доцент Веролайнен Н.В.

Исследовано влияние пеногасителей и антивспенивающих агентов. В качестве антивспенивателей были выбраны ПЭГ-115, полиэтиленгликоль-сукцинат (ПЭГС) и полиэтиленгликоль-адипинат (ПЭГА); в качестве пеногасителей - амиловый, гептиловый и нониловый спирты, а также диметиловый эфир адипиновой кислоты, изобутиловый эфир стеариновой кислоты и динониловый эфир янтарной кислоты. Использовано несколько методик: расчет показателя эффективности пеногашения, определение гасящей способности, определение активности пеногасителей/антивспенивателей. Выводы исследования: антивспениватель ПЭГА более эффективно препятствует пенообразованию, чем ПЭГС и ПЭГ-115, поскольку показатель эффективности равен 80%, 76% и 75% соответственно; по минимальному количеству вещества, прошедшему на пеногашение, выстраиваются в ряд: ПЭГС (0,01 г) → ПЭГА (0,02 г) → ПЭГ-115 (0,25 г), причем пена полностью не разрушается, а стабилизируется и больше не образуется; в ряду пеногасителей гептиловый спирт (96%) и диметиловый эфир адипиновой кислоты (94%) эффективнее разрушают пену в сравнении с остальными. По минимальному количеству спиртов, прошедшему на пеногашение, вещества выстраиваются в ряд: $C_7H_{15}OH$ ($V_{cp} = 0,20$ мл) → $C_5H_{11}OH$ ($V_{cp} = 0,30$ мл) → $C_9H_{19}OH$ ($V_{cp} = 0,95$ мл). Эфиры образуют следующий ряд: $C_8H_{14}O_4$ ($V_{cp} = 0,10$ мл) → $C_{22}H_{44}O_2$ ($V_{cp} = 0,30$ мл) → $C_{22}H_{42}O_4$ ($V_{cp} = 0,80$ мл).

Таким образом, при сравнении между собой антивспенивателей, спиртов и эфиров, было выявлено, что спирты оказывают большее влияние на пенообразование в смеси ПАВ, т.к. они в минимальных количествах полностью разрушают образовавшуюся пену и препятствуют ее дальнейшим образованию, в отличие от антивспенивателей, которые предотвращают или снижают образование пены.



Получение и свойства сложного эфира пентаэритрита и лауриновой кислоты

Богданова Е.М. (студент, 4 курс)

Научный руководитель: к.х.н., доцент Егорова И.Ю.

Актуальной проблемой современного органического синтеза является подбор оптимальных методов получения сложных эфиров на основе многоатомных спиртов, которые широко используются в качестве смазочных материалов в высокоскоростных газовых турбинах, авиации и других областях. В связи с этим интересен вопрос получения дилаурилпентаэритрита.

Сложный эфир получали методом азеотропной этерификации, взаимодействием лауриновой кислоты с пентаэритритом в присутствии катализатора –*n*-толуолсульфокислоты и серной кислоты. Температуру реакционной среды контролировали добавлением в колбу толуола в количестве 6 % от массы лауриновой кислоты. Толуол также использовался для образования низкокипящей, азеотропной смеси с водой. Реакционную массу, нагревали в течение 5 часов при температуре 150°C. Окончание реакции, контролировали по прекращению накопления воды в насадке Динна-Старка. После отгонки толуола остаток представлял собой твердое маслянистое вещество белого цвета с температурой плавления 43-45°C.

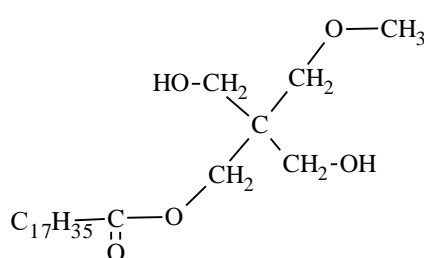


Рис. Дилаурилпентаэритрит

Исследована растворимость и определена температура плавления дилаурилпентаэритрита, также рассчитано кислотное и эфирное

числа. Полученное соединение представляет собой малорастворимое неионогенное поверхностно-активное вещество, мало растворимое в воде и этаноле, хорошо растворяющееся в диэтиловом эфире и ацетоне. Строение синтезируемого соединения подтверждено данными ИК-спектроскопического анализа.



Применение диоксида титана в качестве катализатора при ацилировании неонола 9-12

Васильева Д.В. (магистрант 2-го года обучения)

Научный руководитель: доцент, к.х.н. Темникова С.А.

В реакции этерификации в качестве катализатора наряду с протонными кислотами и *пара*-толуолсульфокислотой возможно использование соединений титана, обычно это тетраалкилтитанаты, титановые соли карбоновых кислот, гексафортитанаты и смешанные титаносодержащие соединения [1].

В данной работе была изучена реакция ацилирования оксиэтилированного спирта неонола 9-12 двухосновными карбоновыми кислотами в присутствии диоксида титана как катализатора.

Синтезы осуществляли путем азеотропной этерификации по известной методике [2], но с некоторыми изменениями. Так, была модифицирована установка для синтеза, а также удален этап промывки в делительной воронке и последующее осушение в связи с достаточной растворимостью получающихся соединений в воде, что привело бы к потерям целевого продукта. Контроль за ходом реакции осуществлялся по изменению кислотного числа. Таким образом были получены следующие соединения с соответствующими выходами: эфир неонола 9-12 и глутаровой кислоты (84 %), эфир неонола 9-12 и винной кислоты (86 %). При использовании в качестве катализатора *пара*-толуолсульфокислоты выходы целевых продуктов составляли 70 % и 34 % соответственно.

Список литературы:

1. Силинг М.И., Ларичева Т.Н. Соединения титана как катализаторы реакций этерификации и переэтерификации // Усп. хим. – 1996. – Т. 65. – Вып. 3. – С. 296–304.
2. Синтез и свойства сложных эфиров адипиновой кислоты / И.Н. Вихарева, Е.А. Буйлова, Д.Р. Гатиятуллина [и др.] // Баш. хим. ж. – 2019. – Т. 26. – №2. – С. 33–36.



Исследование амфотерных поверхностно-активных веществ в качестве стабилизаторов эмульсий

Веролайнен В.А. (магистрант, 2 год)

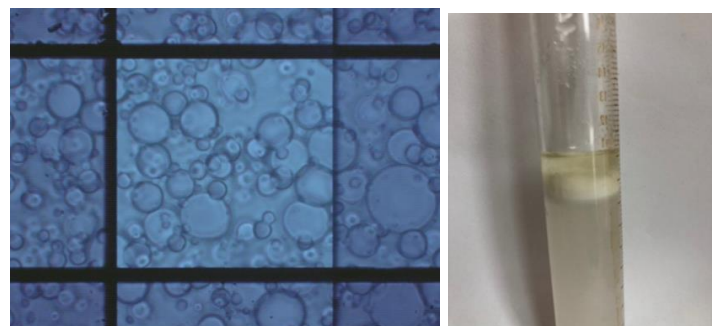
Научный руководитель: доцент, к.х.н. Темникова С.А.

Амфотерные поверхностно-активные вещества считаются одними из наиболее многообещающих из-за их способности вызывать минимальное раздражение, обладания высокой эффективностью в уменьшении поверхностного натяжения и хорошей совместимостью с различными типами поверхностно-активных веществ.

Экспериментально установлено, что синтез на основе N,N-диэтиламиноэтилдодеканоата и акриловой кислоты является более целесообразным, так как выход продукта составил 95%. Благодаря отказу от растворителя, полученное вещество не нуждается в очистке. Устойчивое пенообразование изучаемого вещества отмечено через 30 мин только при концентрациях от $1 \cdot 10^{-1}$ до $1 \cdot 10^{-3}$ моль/л [3].

Эмульгирующую способность исследовали: N-додеканоилоксиэтил-N,N-диэтиламмонийпропионата с концентрациями от $1 \cdot 10^{-1}$ моль/л до $1 \cdot 10^{-3}$ моль/л с оливковым маслом в соотношении 5:1. При встряхивании более 600 сек. эмульсий с концентрацией АмПАВ $1 \cdot 10^{-1}$ моль/л образовался стабильный слой толщиной 8 мм. При остальных концентрациях такие слои не были обнаружены.

С помощью оптического микроскопа Hyperion-1000 (Bruker) получали электронные микрофотографии ресуспензионного слоя эмульсии оливкового масла в растворе АмПАВ с концентрацией $1 \cdot 10^{-1}$ моль/л представленные ниже:





Термическая стабильность металлатных ионных жидкостей – тетрахлорманганатов N-алкилпиридиния

Воробьева А.О. (магистр, 2 год обучения)

Научный руководитель: доцент, к.х.н. Журавлев О.Е.

Для металлатных ионных жидкостей (ИЖ) характерна высокая термическая стабильность, позволяющая использовать их в химических процессах, проводимых при температурах, достигающих 200-300°C и выше.

Целью работы является исследование термической стабильности ИЖ с тетрахлорманганат-анионом и катионом N-алкилпиридиния с различной длиной алкильных заместителей. Результаты анализа представлены в таблице.

Таблица

Термогравиметрический анализ тетрахлорманганатов N-алкилпиридиния: $\left[\text{C}_6\text{H}_5\text{N}^+ - \text{R} \right]_{\text{MnCl}_4^{2-}} \cdot \text{H}_2\text{O}$

| R | T _{разл.} , °C | T ₅₀ , °C | Потеря массы, % | | | | | Остаток, % |
|---|-------------------------|----------------------|-----------------|-------|-------|-------|-------|------------|
| | | | 100°C | 200°C | 300°C | 400°C | 500°C | |
| (CH ₂) ₃ CN | 260 | 369 | 1 | 1 | 21 | 66 | 75 | 21 |
| C ₄ H ₉ | 240 | 350 | 1 | 1 | 31 | 74 | 81 | 15 |
| CH ₂ C ₆ H ₅ | 238 | 349 | 2 | 2 | 32 | 61 | 69 | 27 |
| C ₈ H ₁₇ | 237 | 329 | 2 | 2 | 28 | 80 | 83 | 13 |
| C ₁₀ H ₂₁ | 235 | 337 | 1 | 1 | 33 | 79 | 83 | 12 |

T_{разл.} – температура начала термического разложения.

T₅₀ – температура, при которой наблюдается 50%-ная потеря массы.

В общем случае все изученные тетрахлорманганаты N-алкилпиридиния стабильны до 230°C и постепенно разлагаются в интервале 230-600°C. ИЖ с децил-радикалом стабильна до 235°C. Напротив, ИЖ с бутиронитрил-, бутил-, бензил- и октил-радикалами обладают большей термической стабильностью.

При увеличении длины алкильного заместителя в составе катиона происходит снижение термической стабильности. Так тетрахлорманганат N-децилпиридиния менее стабилен, чем N-октилпиридиния и N-бутилпиридиния. По-видимому, большая длина алкильной цепи вызывает усиление Ван-дер-Ваальсовых сил и снижение внутримолекулярного электростатического взаимодействия, что в результате приводит к снижению термостабильности.



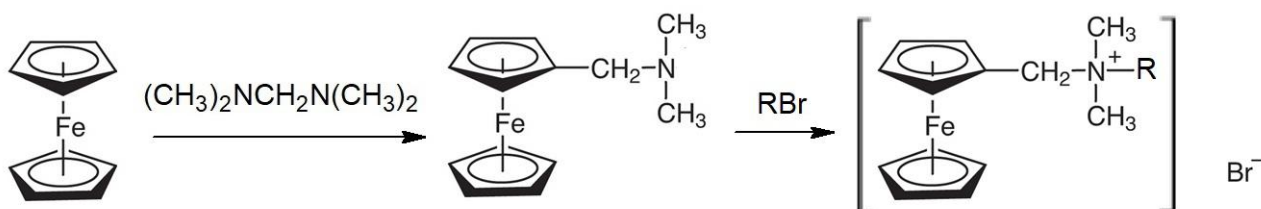
Аммониевые ионные жидкости с ферроцилметильным радикалом в катионе

Грязнов А.С. (студент 5 курс)

Научный руководитель: профессор, д.х.н. Ворончихина Л.И.

Среди аммониевых металлокомплексных ионных жидкостей (ИЖ) наиболее известны соединения, содержащие металл в структуре аниона $(R_4N)_2^+MeX_4^{2-}$ ($Me: Co, Ni, Mn, Fe, Cd$ и др.). В то же время металлатные ионные жидкости, содержащие металл в катионе, немногочисленны и в основном получены на основе N,N-диметиламинометилферроцена. Эти соединения имеют широкий спектр применения: от лекарственных препаратов до регуляторов горения твёрдого ракетного топлива.

В данной работе представлены результаты исследований ИЖ – четвертичных солей аммония с ферроцилметильным радикалом в катионе и с Br^- анионом. Исследовано влияние структуры катиона на термическую стабильность и поверхностную активность синтезированных ионных жидкостей. Ионные жидкости получены трёхстадийным синтезом, используя реакцию аминоалкилирования ферроцена и кватернизацию амина алкилбромидами с различной длинной алкильной цепи.



R: $C_4H_9; C_8H_{17}; C_{10}H_{21}; C_{12}H_{25}; C_{16}H_{33}$

Анализ термической стабильности синтезированных ИЖ указывает на их большую термостабильность по сравнению с органическими ионными жидкостями. В результате исследований водных растворов полученных веществ было установлено, что исследуемые ИЖ ведут себя как классические кационные ПАВ и снижают поверхностное натяжение воды до $35\text{--}40 \cdot 10^{-3}$ н/м.



Получение и исследование свойств аскорбилпальмитата

Девятова С.А. (студент, 4 курс)

Научный руководитель: доцент, к.х.н. Егорова И.Ю.

Аскорбилпальмитат (пищевая добавка Е304) – сложный эфир пальмитиновой и аскорбиновой кислот, также известный как жирорастворимая форма витамина С, имеет формулу $C_{22}H_{38}O_7$. Аскорбилпальмитат относится к антиокислителям и антиоксидантам искусственного происхождения, его применяют в технологических целях в процессе производства пищевых продуктов, а также в косметологии, животноводстве и фармацевтике.

Эфир получали взаимодействием аскорбиновой кислоты с пальмитиновой кислотой. Синтез проводили при температуре 120-130°C в присутствии катализатора серной кислоты H_2SO_4 . Полученный эфир экстрагировали в ацетоне. После очистки и перекристаллизации получили слегка желтоватые кристаллы. Схема реакции представлена ниже:

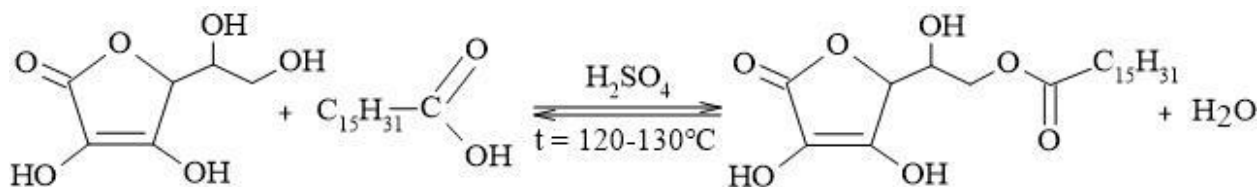


Рис. Схема реакции получения аскорбилпальмитата

Полученное соединение представляет собой слегка желтоватые кристаллы со слабым цитрусовым запахом. Имеет слабокислый вкус. Исследована растворимость аскорбилпальмитата: хорошо растворим в маслах, спиртах, этилацетате, ацетоне и хлороформе, слабо растворим в гексане и четыреххлористом углероде, не растворим в воде. Определена температура плавления 115-120°C, которая хорошо соотносится с литературными данными.



Ацилпроизводные Синтанола АЛМ-7

Егорова А.Д. (студент, 5-го года обучения)

Научный руководитель: доцент, к.х.н. Темникова С.А.

Синтанол АЛМ-7, смесь первичных оксиэтилированных спиртов, широко применяется в различных отраслях, включая производство косметики, бытовой химии и фармацевтических препаратов. Синтез производных синтанола АЛМ-7 представляет собой важный процесс в промышленном производстве поверхностно-активных веществ (ПАВ). Ацилирование позволяет модифицировать свойства синтанола АЛМ-7, придавая ему новые функциональные возможности [1].

В данной работе осуществлён синтез производных Синтанола АЛМ-7 ацилированием его ангидридами фталевой, малеиновой и янтарной кислот. Процесс синтеза был оптимизирован путем подбора условий реакции, включая соотношение реагентов и температуру. Реакции проводились в отсутствие катализаторов. Строение целевых продуктов было подтверждено данными ИК-спектроскопии. Также были исследованы физико-химические характеристики водных растворов, полученных соединений и исходного вещества.

Полученные производные Синтанола АЛМ-7 обладают улучшенными поверхностно-активными свойствами по сравнению с исходным соединением. Они характеризуются более низким поверхностным натяжением, лучшей смачивающей способностью и повышенной стабильностью эмульсий. Эти свойства делают их перспективными соединениями для использования в качестве компонентов, где требуется эффективное поверхностно-активное действие.

Список литературы:

2. Ломинога Е.А., Бурмистров К.С., Гевод В.С. Синтез и свойства продукта ацилирования Синтанола АЛМ-10 фталевым ангидридом. Вопр. химии и хим. технологии. 2014. Т. 3. С. 52-55.



Электропроводность растворов дицианамидов N-алкилпиридиния

Егорова У.В. (специалист, 5 года обучения)

Научный руководитель: доцент, к.х.н. Журавлев О.Е.

В настоящее время можно заметить резко возрастающий интерес применения ионных жидкостей в области электрохимических исследований и прикладных аспектах для использования их в качестве электролитов нового поколения в аккумуляторных батареях, солнечных панелях и др. Они очень практичны в использовании при проведении в них различных химико-технологических процессов, так как остаются жидкими в широком интервале температур, не летучи, не горючи, термически устойчивы и менее токсичны в сравнении с другими органическими растворителями.

В настоящей работе проведен синтез дицианамидов N-алкилпиридиния, а также кондуктометрическое исследование их разбавленных растворов в ацетонитриле. Синтезированные соединения представляют собой вязкие жидкости светло-желтого цвета, которые хорошо растворяются в воде и полярных органических растворителях. Зависимости эквивалентной электропроводности (ЭП) от квадратного корня концентрации представлены на рисунке 1.

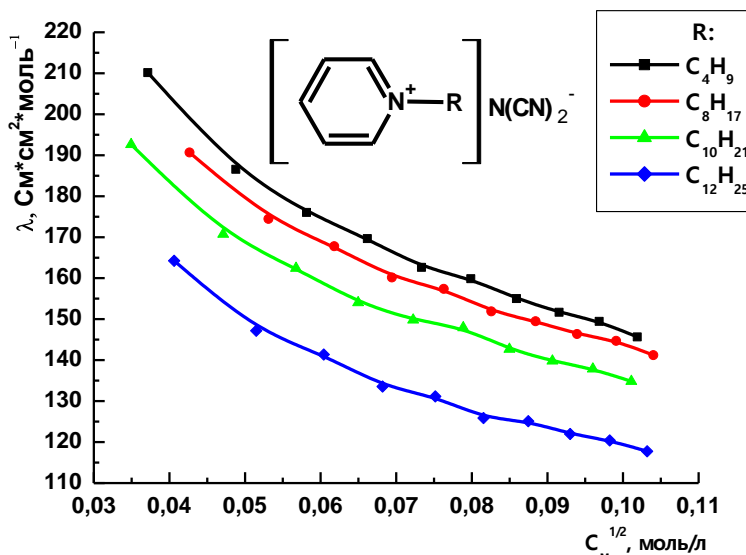


Рис. 1. Зависимость эквивалентной ЭП галогенидов N-алкилпиридиния в ацетонитриле от квадратного корня концентрации при 25 °C

Установлено, что зависимость ЭП растворов ИЖ в ацетонитриле от концентрации схожа с таковой для водных растворов сильных электролитов. Показано, что увеличение длины алкильного заместителя в катионе приводит к снижению эквивалентной ЭП растворов, изученных ИЖ в растворе ацетонитрила.



Амидообразование с участием ангидридов карбоновых кислот и ароматических аминов

Камардина Ю.С. (специалист, 5-го года обучения)

Научный руководитель: доцент, к.х.н. Темникова С.А.

N-Замещенные амиды карбоновых кислот, имеющие в своем составе амидную группировку $-\text{NH}-\text{CO}-$, обладают ценными и уникальными свойствами, которые определяют их широкое применение в качестве биологически активных веществ, синтетических антибиотиков, растворителей, красителей и полупродуктов [1]. Амидная группировка атомов входит в состав высокомолекулярных соединений: полиамидов, полиуретанов и полиамидокислот, из которых получают высоко термостойкие полиимиды [2].

В настоящей работе синтезированы амиды на основе фталевого, малеинового, янтарного ангидридов и ароматических аминов: анилина, *n*-нитроанилина, *o*-метиланилина. В качестве растворителя использовался диметилформамид (ДМФА). Составлены закономерности влияния структуры ангидридов и аминов на выход и температуру плавления амидов.

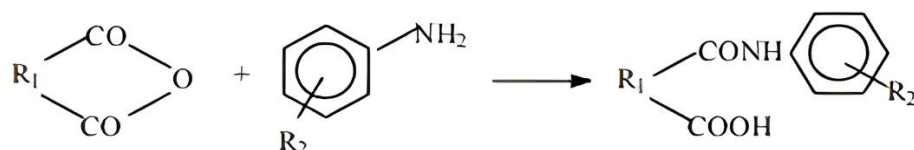


Рис. Схема синтеза амидов на основе ангидридов дикарбоновых кислот и ароматических аминов

Структура полученных соединений подтверждена методом ИК-спектроскопии.

Список литературы:

1. Садовников А. И. Закономерности амилообразования с участием ангидридов карбоновых кислот и ароматических аминов // Известия высших учебных заведений. - 2007. – Т. 50. Вып. 5.
2. Кустова Т. П. Стратегия выбора среды для *N*-ацилирования аминов // Рос. хим. ж. об-ва им. Д. И. Менделеева. - 2006. Т. L. Вып. 3.



Синтез и термическая стабильность металлатных ионных жидкостей на основе четвертичных солей аммония и пиридиния

Кафтанов А.Д. (аспирант, 3-го года обучения)
Научный руководитель: доцент, к.х.н. Журавлев О.Е.

Ионные жидкости (ИЖ) – органические соединения, состоящие из органического катиона и органического или неорганического аниона с температурой плавления ниже 100°C. Число ИЖ очень велико, благодаря большому количеству подходящих комбинаций катионов и анионов, этим объясняется большое разнообразие их свойств и возможностей для применения. Известно, что металлатные ИЖ могут выступать заменой классических катализаторов - кислот Льюиса. От термической стабильности ионных жидкостей зависит диапазон температур, в котором они могут быть использованы.

Целью работы являлось получение железосодержащих ионных жидкостей на основе четвертичных солей аммония и пиридиния и изучение их термической стабильности на воздухе. Схема синтеза ИЖ представлена ниже.

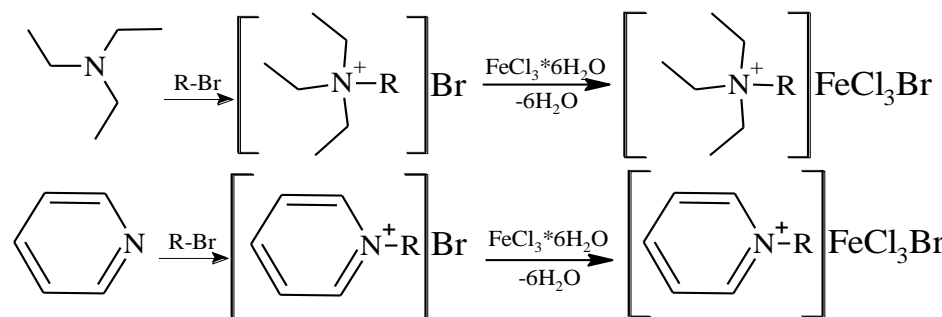


Схема 1. Синтез ионных жидкостей, где R: -C₂H₅, -C₄H₉, -C₆H₁₃, -C₈H₁₇, -C₁₀H₂₁, -C₁₂H₂₅, -C₁₆H₃₃

Строение всех полученных соединений подтверждено данными ИК-спектроскопии и спектроскопии в видимой области. Установлено, что бромтрихлорферраты N-алкилипиридиния обладают большей термической стабильностью на воздухе по сравнению с бромтрихлорферратами тетраалкиламмония. Показано, что среди исследованных ИЖ бромтрихлорферрат N-этилипиридиния обладает наибольшей термической стабильностью.



Синтез гетероциклических соединений по модифицированной реакции Биджинелли

Петров М. Р. (студент, 4-го года обучения)

Научный руководитель: доцент, к.х.н. Темникова С. А.

Реакция Биджинелли является широко применяемым методом получения гетероциклических соединений — дигидропиримидинов. Для повышения эффективности реакции постоянно разрабатываются новые методики, в которых варьируются исходные реагенты, катализаторы и условия проведения. Одним из перспективных направлений является использование ионных жидкостей (ИЖ) в качестве катализаторов. ИЖ представляют собой расплавленные соли с температурой плавления ниже 100 °C. Они обладают уникальными свойствами, такими как нелетучесть, низкая токсичность, термическая и химическая устойчивость.

В данной работе показано, что использование *N*-метил-2-пирролидон гидросульфата и *N*-метил-2-пирролидон перхлората в качестве катализаторов в реакции Биджинелли приводит к значительному уменьшению времени синтеза и увеличению выходов продукта. В классической реакции Биджинелли, катализируемой кислотами Льюиса или Брёнстеда, время синтеза обычно составляет 15–20 часов, а выходы продукта достигают 20–50%. При использовании ИЖ время синтеза удалось сократить до 1 часа, а выходы увеличить до 81–94%. Кроме того, применение ИЖ позволило устраниć необходимость использования растворителей и снизить температуру нагрева до 75–80 °C. Это не только ускоряет реакцию, но и делает ее более экологичной, так как отпадает необходимость в использовании летучих органических соединений.

Таким образом, использование ионных жидкостей в качестве катализаторов реакции Биджинелли является перспективным направлением, позволяющим оптимизировать условия проведения реакции и добиться более высоких выходов продукта.



Получение производных 2-аминопентандиовой кислоты и исследование их свойств

Рылина К.Д. (студентка 4-го года обучения)

Научный руководитель: к.х.н., доцент Веролайнен Н.В.

Настоящая работа посвящена синтезу N-ациламинокислот, полученных из аминокислот и жирных кислот. В качестве объектов исследования выбрана глутаминовая кислота, высшие карбоновые кислоты, ангидриды карбоновых кислот. Синтезированы N-ацилоаминовые кислоты из галогенаминов, алифатических ангидридов или жирных кислот. Использована реакция Шоттена-Баумана.

Получение N-стеароилглутамат натрия проводили в две стадии. На схеме I показана реакция получения галогенгидрида карбоновой кислоты, которую использовали в синтезе на первой стадии. На второй стадии проводили ацилирование глутаминовой кислоты согласно схеме II.

Схема I.

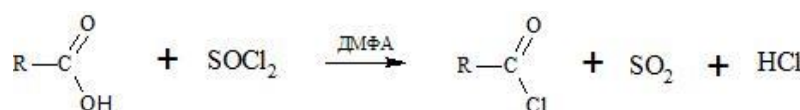
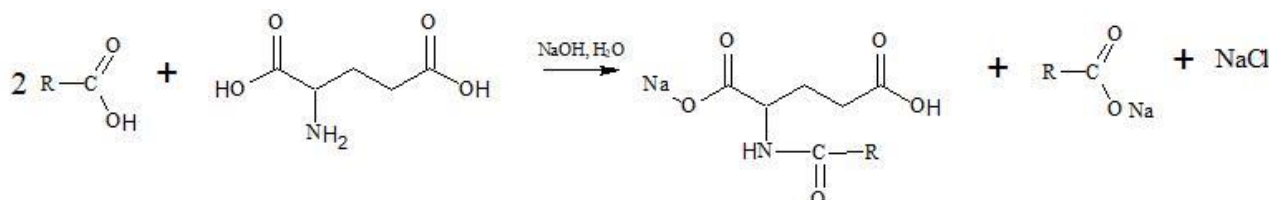


Схема II.



Полученный N-стеароилглутамат натрия представляет собой порошок светло-коричневого цвета, растворяется в воде и спирте при нагревании. Состав и строение полученного соединения подтверждены данными ИК-спектроскопии (Таблица 1).

Таблица 1. Валентные полосы поглощения N-стеароилглутамата натрия

| Функциональная группа | Теоретические валентные полосы поглощения, см ⁻¹ | Практические валентные полосы поглощения, см ⁻¹ |
|-----------------------|---|--|
| OH | 3600 - 3150 | 3410 |
| C-O | 1300 – 1250; 1150 - 1100 | 1255; 1126 |
| C=O | 1730 - 1715 | ~1705 |
| C-O | 1075 - 1000 | 1126 |
| C-H | 2900 – 2880; 1340 | 2913; 1313 |
| C=O | 1700 - 1680 | ~1671 |

N-ацилпроизводное глутаминой кислоты получено на основе фталевого ангидрида и глутаминовой кислоты. Данный метод представляет собой реакцию сплавления аминокислоты и фталевого ангидрида. Смесь эквимольных количеств веществ нагревали 0,5 ч при температуре бани 145-150°C. После охлаждения твёрдый продукт реакции растворяли в горячем метаноле и разбавляли водой. Выпавшую кислоту отфильтровывали, промывали холодной водой и сушили в течение двух дней. Продукт выделяли в виде фталимида глутаминовой кислоты, который растворяется в этиловом спирте и ацетоне, в воде при нагревании.



Изучение взаимодействия ароматических нитрозосоединений с С-Н – кислотами.

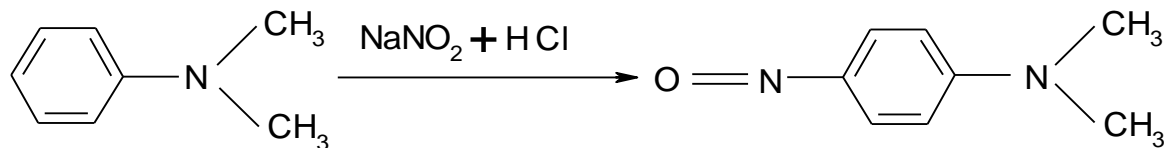
Силина М.А. (студент, 4-го года обучения)

Научный руководитель: доцент, к.х.н., Темникова С.А.

Химия нитрозосоединений привлекает внимание многих исследователей, поскольку этот класс веществ находит широкое применение в различных областях производства. Ряд ароматических и гетероциклических нитрозосоединений и их производные являются биологически активными веществами, что позволяет их использовать для приготовления лекарственных препаратов.

Из известных методов синтеза нитрозосоединений (окисление аминов и N-замещённых гидроксиламинов, восстановление нитросоединений, нитрование металлогорганических соединений) был выбран метод замещения атома водорода на нитрозогруппу в ароматических соединениях.

Для синтеза был выбран N,N-диметиланилин



В качестве соединений с активной метиленовой группой были использованы ацетилацетон и ацетоуксусный эфир.

Полученные соединения после перекристаллизации из водного спирта представляют собой кристаллические вещества тёмно-зелёного цвета, мало растворимые в воде, но хорошо растворимые в органических растворителях [1].

Список литературы:

1. Щербина А.Э. органическая химия. Основной курс: учебник/ А.Э. Щербина, Л.Г. Мотусевич; под ред. А.Э. Щербины. – Минск: Новое знание. 2014. – 808с.



Синтез сложных эфиров на основе *n*-гидроксибензойной кислоты

Сорокина П.А. (студент, 5 курс)

Научный руководитель: доцент, к.х.н. Егорова И.Ю.

Сложные эфиры *n*-гидроксибензойной кислоты с длиной углеводородного радикала C₁₀-C₁₆ относятся к числу высокоэффективных синтетических консервантов. Преимуществом данных веществ является присутствие в соединениях гидроксильной группы, которая увеличивает бактериостатическое действие, что способствует уничтожению грамположительных видов бактерий. Данные консерванты не влияют на такие аспекты изготавляемого продукта, как аромат и вкус.

Цель представленной работы – получение децилового и цетилового эфиров *n*-гидроксибензойной кислоты в лабораторных условиях. Реакцией диазотирования *n*-аминобензойной кислоты нитритом натрия при охлаждении и тщательном перемешивании получен *n*-карбоксифенилдиазоний хлорид. Гидролизом соли диазония получена *n*-гидроксибензойная кислота.

Методом азеотропной этирификации *n*-гидроксибензойной кислоты дециловым и цетиловым спиртами получены сложные эфиры *n*-гидроксибензойной кислоты.

Синтезированные эфиры очищены перекристаллизацией из ацетона до постоянной температуры плавления. Полученные алкил-*n*-гидроксибензоаты – кристаллические вещества кремового и темно-кремового цвета, не имеющие запаха. Строение полученных соединений подтверждено данными ИК-спектроскопии. Определены температуры плавления и исследована растворимость алкил-*n*-гидроксибензоатов. Рассчитан гидрофильно-липофильный баланс, по значению которого полученные эфиры можно отнести к эмульгаторам для систем «вода в масле».



Поверхностная активность цитрилглицерида

Тарабанова А.А. (магистрант 2 курс)

Научный руководитель: доцент, к.х.н., Егорова И.Ю.

Общим свойством, объединяющим эмульгаторы и отличающим их от других пищевых добавок, является поверхностная активность [1]. Методом азеотропной этерификации получен сложный эфир на основе глицерина и лимонной кислоты, который относится к функциональному классу пищевых поверхностно-активных веществ (ПАВ). Представленная работа посвящена изучению поверхностной активности цитрилглицерида.

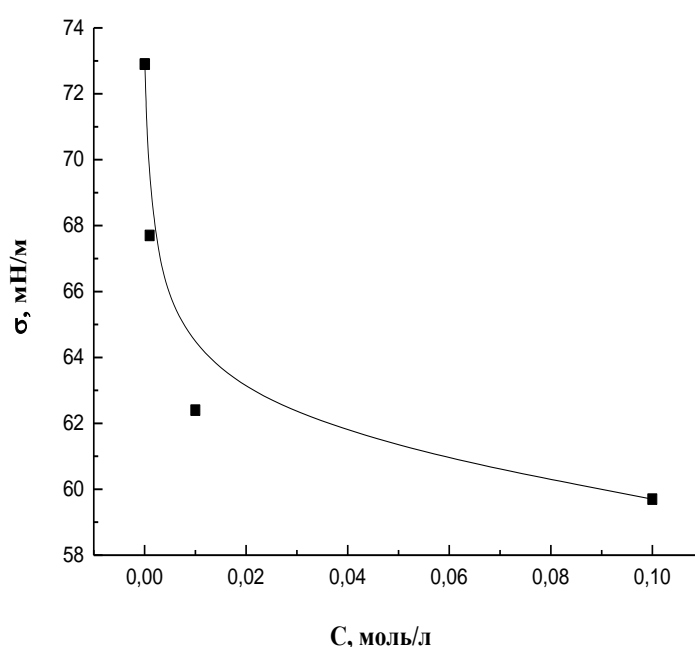


Рис. Зависимость поверхностного натяжения водных растворов цитрилглицерида от логарифма концентрации.

Методом максимального давления в газовом пузырьке определены значения поверхностной активности водных растворов синтезированного соединения. Изотерма (рис.) подтверждает, что с повышением концентрации водных растворов поверхностная активность цитрилглицерида повышается и снижает поверхностное натяжение воды с 72,9 до 59,7 МН/м.

Список литературы:

1. Нечаев А.П., Траунберг С.Е., Кочеткова А.А. и др. Пищевая химия: под. ред. А. П. Нечаева. Издание 3-е, испр. – СПб.: ШОРД, 2004. – 404 с.



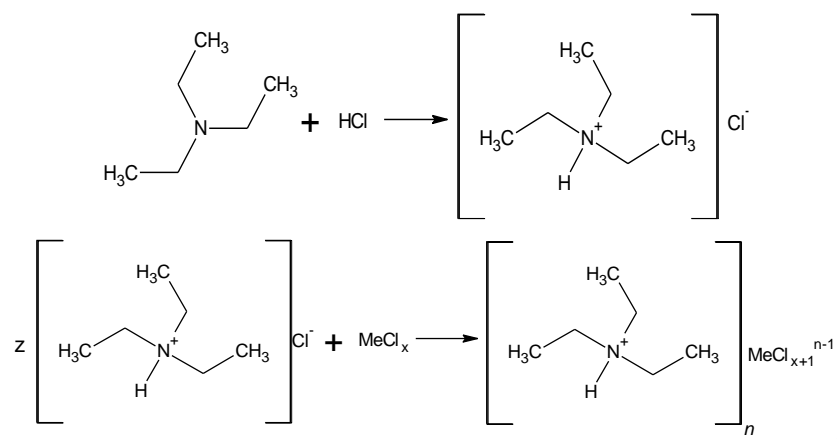
Синтез и свойства металлатных ионных жидкостей

Цветкова И.В. (студент, 4-го года обучения)

Научный руководитель: доцент, к.х.н. Журавлев О. Е.

Ионные жидкости - это новая область исследований в современных химических лабораториях по всему миру. Являясь "зелеными" катализаторами, растворителями, ионные жидкости прочно укоренились в современной органической химии. Металлатные ионные жидкости - это ионные жидкости, состоящие из аниона, содержащего металл и органического катиона. Такие ионные жидкости обладают уникальными физико-химическими свойствами, такими как высокая термическая стабильность, низкая вязкость, хорошая электропроводность и магнитные свойства.

Целью данного исследования было получение ионных жидкостей металлов, содержащих следующие анионы: FeCl_4^- , ZnCl_4^{2-} , CoCl_4^{2-} , MnCl_4^{2-} и NiCl_4^{2-} на основе триэтиламина.



где Me: Fe ($x=2$, $n=1$, $z=1$); Co, Mn, Ni, Zn: $x=3$, $n=2$, $z=2$

Металлатные ионные жидкости получают в две стадии. На первом этапе проводилась реакция протонирования триэтиламина и соляной кислоты. На второй стадии из гидрохлорида триэтиламмония были получены тетрагалогенометаллатные ионные жидкости. Все синтезированные соединения были охарактеризованы по точкам плавления, а структуры полученных соединений подтверждены данными ИК-спектроскопии и спектроскопии в видимой области.



Исследование микрогеометрических параметров полиэтиленсукицината методом Roughness 3D Analysis

Шамарина К. А. (магистрант 2-го года обучения)

Научный руководитель: доцент, к.х.н. Веролайнен Н. В.

Метод Roughness 3D Analysis, входящий в ПО атомно-силового микроскопа «Solver P47» фирмы «NT-MDT», является удобным средством изучения микрогеометрических параметров поверхности изделий. Он позволяет рассчитывать 3D параметры, характеризующие структуру поверхности с учетом того, что поверхность располагается в трехмерном пространстве.

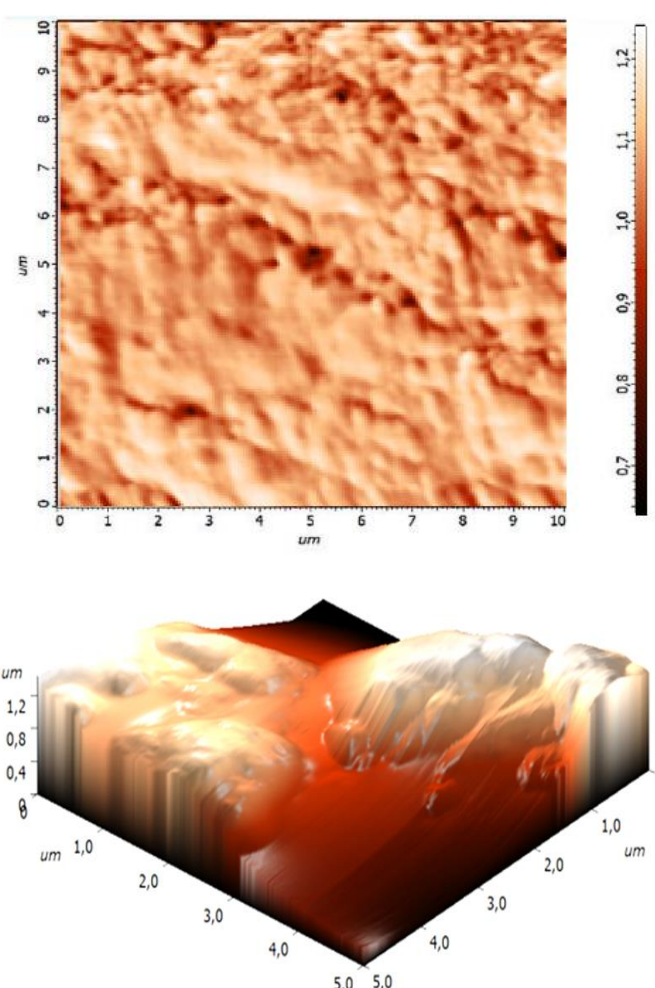
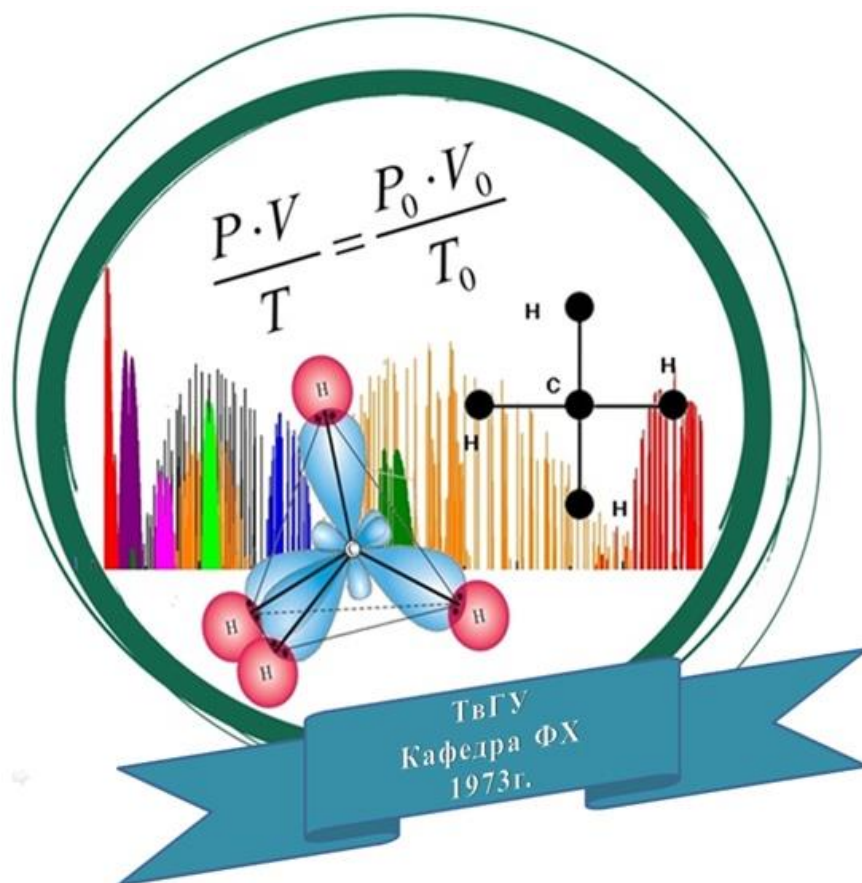


Рис.1. 2D- и 3D-сканы полиэфира

На полученных сканах поверхности полиэтиленсукицината наблюдается зернистая структура. Высота отдельных неоднородностей образцов не превышает 2 мкм.

Результаты исследования полиэфира представлены в виде конкретных параметров шероховатости (средней шероховатости и истинной площади поверхности) и трехмерной топографии. Значение средней шероховатости составило 240,608 нм, значение истинной площади поверхности составило 117,658 мкм².



Секция физической химии



DFT рассмотрение конформеров ацетилцистеина

Бакалюк С.А. (Студент, 4 курс)

Научный руководитель: доцент, к.х.н. Русакова Н.П.

Ацетилцистеин (*L-Acc*) является муколитическим средством и используется в медицине уже несколько десятилетий. Знание его конформационного разнообразия и характеристик электронной плотности конформеров позволит лучше понять кинетику реакций с его участием и уточнить его термодинамические свойства. Рассмотрение отдельных конформеров *L-Acc* результативней проводить в рамках квантовой химии, поскольку использование её методов экономически более выгодно, чем проведение эксперимента.

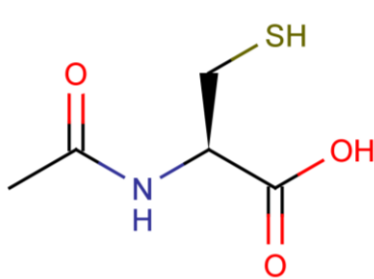


Рис.1. Структурная формула *L*-ацетилцистеина (*L-Acc*)

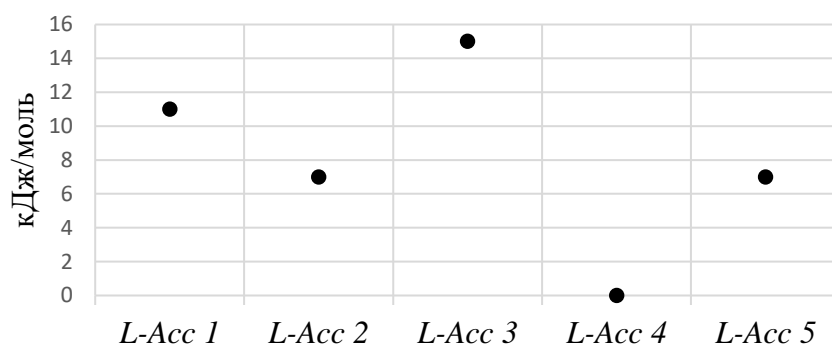


Рис.2. Отличие в полной электронной энергии конформеров *L-Acc*

Количественная оценка конформеров *L-Acc* (Рис. 1.) проводилась с помощью программы MarvinSketch, по предварительному распределению по энергиям выбраны пять конфигураций с наименьшей энергией, проведена маркировка расчетных моделей: *L-Acc 1*, *L-Acc 2*, *L-Acc 3*, *L-Acc 4*, *L-Acc 5*. Поиск равновесной геометрии пяти конформеров проведен функционалом B3LYP в программе Gaussian 03. Получены полные электронные энергии в а.е. пяти соединений. Наименьшей энергией обладает конформер *L-Acc 4* (Рис. 2.). Энергия остальных состояний отличается от данного на 7 и более кДж/моль (н.у., газовая фаза), таким образом, при органическом синтезе их свойства будут вносить незначительный вклад в свойство получаемого вещества.



Топологический подход в исследовании физико-химических свойств карбоновых кислот

Барсукова В.В. (магистр, 2-го года обучения)

Научный руководитель: профессор, д.х.н. Виноградова М.Г.

Карбоновые кислоты широко применяются в различных областях промышленности. Использование топологического подхода в исследовании физико-химических свойств карбоновых кислот представляет собой новую перспективу в химической науке. Рассмотрим некоторые топологические индексы (ТИ) и зависимости вида $P=f(\text{ТИ})$.

Для карбоновых кислот нами были выведены расчётные схемы в четвертом приближении [1]

$$P_{C_nH_{2n+1}COOH} = p_1 p_{CO} + p'_1 p_{CC} + p_2 \Gamma_{CC} + p'_2 \Gamma_{CO} + p''_2 \Gamma_{OO} + R \Delta_{CCC} + \\ + R' \Delta_{CCO} + R'' \Delta_{COO} + p_3 \tau_{CC} + p'_3 \tau_{CO} + p_4 \omega_{CC} + p'_4 \omega_{CO} + p_5 \nu_{CC} + p'_5 \nu_{CO}$$

Здесь R, p_1, p_2, p_3, \dots – число троек смежных рёбер, число путей длины l ($l=1, 2, 3, \dots$), а $p_{CC}, p_{CO}, \Gamma_{CC}, \dots$ – соответствующие параметры. По данной схеме проведены численные расчёты $\Delta_f H^0_{298(\text{ж})}$ и C_p^0 при 298 К карбоновых кислот.

Так для энталпии образования средняя абсолютная ошибка расчета ($|\bar{\varepsilon}|$) и максимальное отклонение (ε_{\max}) соответственно, составили $0,3$ кДж/моль и $-1,2$ кДж/моль. Для теплоёмкости соответственно получаем $|\bar{\varepsilon}| = 2,1$ Дж/мольК и $\varepsilon_{\max} = 0,6$ Дж/мольК [1].

Получены новые данные, согласующиеся с экспериментом [2].

1. Барсукова В.В., Виноградова, М.Г. Теоретико-графовый подход в изучении корреляций структура – теплоёмкость карбоновых кислот. //Вестник ТвГУ: Сер.Химия.2023.№3 (53).С. 30-34.
2. Lange's Handbook of Chemistry / Editor: J.A. Dean. (15th Edition), McGraw-Hill. 1999. [Электронный ресурс]. — URL: <http://fptl.ru/biblioteka/spravochniki/dean.pdf> (дата обращения: 12.04.2024).



Свойства критических точек слабых взаимодействий.

Моделирование гидратации L-цистеина

Киреева Д.С. (бакалавр, 4 года обучения)

Научный руководитель: доцент, к. х. н. Русакова Н.П.

Рассмотрено образование слабых взаимодействий (СВ) в *L-Cys* и гидратированном тремя молекулами H_2O и проведено их сравнение. Моделирование *L-цистеина* и его гидратация (молекулы воды вводили со стороны группы $-COOH$) проводились в теориях квантовой химии. Оптимизация геометрии обоих молекул (Рис. а) и б)) проведена функционалом B3LYP, а параметры электронной плотности ($\rho(r)$) в критических точках (КТ) связевых путей (Табл.) получены в рамках quantum theory of atoms in molecules (QTAIM).

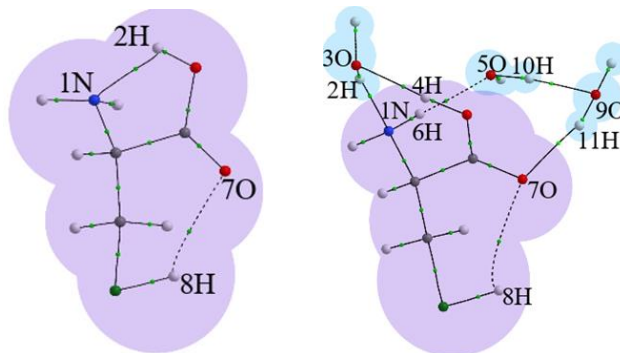


Рис. Оптимизированная геометрия а) *L-Cys* и б) *L-Cys+3H₂O*; цветные области схематично показывают количество взаимодействующих молекул

Безводный *L-Cys* имеет два внутримолекулярных СВ ($1N\cdots 2H$, $7O\cdots 8H$) (Рис. а), но при добавлении молекул H_2O меняется тип СВ $1N\cdots 2H$ на межмолекулярное с модификацией свойств электронной плотности ($\rho(r)$) этого СВ (Табл.): эллиптичности (ε) и длины связующего пути (L). Взаимодействие $1N\cdots 2H$ становится прочнее ($\rho(r)$ в КТ (3; -1) увеличивается, а L уменьшается), СВ ($7O\cdots 8H$) ослабевает (уменьшается $\rho(r)$ в КТ (3; -1) и увеличивается L)

Табл.: Интегральные характеристики в КТ СВ молекул цистеина.

| Взаимодействие | <i>L-Cys</i> | | | <i>L-Cys+3H₂O</i> | | |
|----------------|--------------------|---------------|-----------|------------------------------|---------------|-----------|
| | $\rho(r)$, в а.е. | ε | L , в Å | $\rho(r)$, в а.е. | ε | L , в Å |
| $1N\cdots 2H$ | 0,034 | 0,25 | 1,99 | 0,043 | 0,04 | 1,85 |
| $3O\cdots 4H$ | - | - | - | 0,047 | 0,04 | 1,72 |
| $5O\cdots 6H$ | - | - | - | 0,022 | 0,07 | 2,04 |
| $7O\cdots 8H$ | 0,014 | 0,21 | 2,40 | 0,013 | 0,64 | 2,63 |
| $7O\cdots 11H$ | - | - | - | 0,023 | 0,03 | 1,90 |
| $9O\cdots 10H$ | - | - | - | 0,035 | 0,03 | 1,84 |



Спектральные методы контроля синтеза и агрегационной стабильности наночастиц серебра, синтезированных с использованием водных экстрактах растений

Кузьпелев Н.А. (4 курс обучения)

Руководитель: к.х.н., доцент С.Д. Хижняк

Целью работы является изучение с помощью методов УФ-видимой спектроскопии и динамического светорассеяния процесса синтеза и агрегационной стабильности НЧС, синтезированных в водных экстрактах иван-чая (листья и цветы) и борщевика (листья).

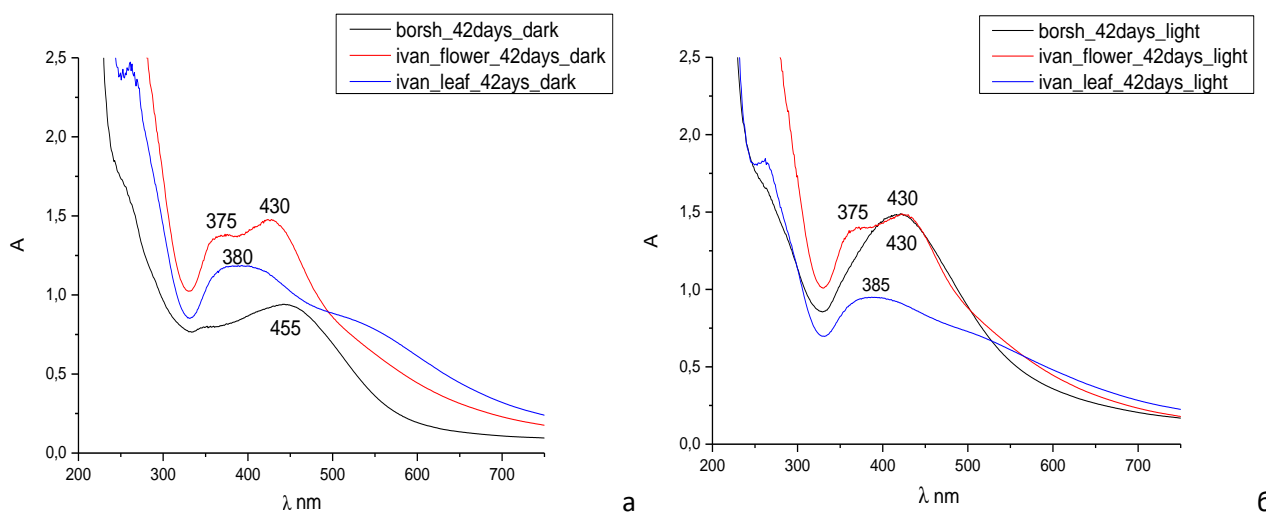


Рисунок. Электронные спектры наночастиц серебра через 12 дней в темноте (а) и 12 дней на свету (б)

На рис. А показаны электронные спектры растворов НЧС, синтезированных в экстрактах исследуемых растений, через 42 дня после добавления раствора AgNO_3 и хранящихся в темноте, и подвергнутых в течение 12 дней воздействию дневного света (рис. Б). Можно заметить, что ППР в спектре образца с борщевиком значительно выросла, в образце с цветами иван-чая осталась без изменений, а в образце листьев иван-чая заметно уменьшилась. Такие изменения в значениях ППР свидетельствуют о том, что воздействие дневного света на растворы, инициирующего восстановление Ag^+ , зависит от эффективности синтеза и модификации поверхности НЧС в водных экстрактах и может быть использовано для контроля стабильности биосинтезированных НЧС.

Работа выполнена на оборудовании лаборатории спектроскопии ЦКП ТвГУ.



Топологический подход в изучении энталпии образования тиоэфиров

Макаров С.В. (студент, 4 курс)

Научный руководитель: профессор, д.х.н. Виноградова М.Г.

Методы теории графов и топологии используются для корреляции и прогнозирования различных свойств веществ, в том числе и для энталпии образования тиоэфиров.

Целью данной работы является – установление количественных корреляций “структура – энталпия образования” в тиоэфирах.

В работе рассмотрены зависимости вида $P=f(TI)$. Выявлены уравнения, отвечающие наиболее тесной корреляционной связи между энталпией образования тиоэфиров и топологическими индексами. Например:

$$\Delta_fH_{(g, 298 K)}^0 = -7,388 H - 9,585 p_2 - 12,682 p'_2 + 2,79R + 5,707 R' + 48,362$$

Средняя абсолютная ошибка расчета ($|\bar{\varepsilon}|$) и максимальное отклонение (ε_{max}) составили соответственно 0,8 кДж/моль и 1,5 кДж/моль.

В работе были рассмотрены графические зависимости "Свойство- номер изомера" и "ТИ - номер изомера", "Свойство Р – ТИ". Найдено, что величины $\Delta_fH_{(g)}^0$ и $\Delta_fH_{(ж)}^0$ хорошо коррелируют с индексами J , p_2' и H . В других случаях такой корреляции нет.

Также была дана теоретико-графовая интерпретация аддитивных схем расчёта. Например, в четвёртом приближении для тиоэфиров имеем:

$$P(C_nH_{2n+1})_2S = p_1p_{CC} + p'_1p_{CS} + p_1^*p_{CS} + p_2\Gamma_{CC} + p'_2\Gamma_{CS} + R\Delta_{CCC} + \\ + R'\Delta_{CCS} + p_3\tau_{CC} + p'_3\tau_{CS} + p_4\omega_{CC} + p'_4\omega_{CS} + p_5\nu_{CC} + p'_5\nu_{CS}$$

Здесь p_1 , p_2 , p_3 , p_4, \dots – соответственно такие индексы как число путей длины один, два, три,..; R – число троек смежных рёбер и т.д.. По данной схеме проведены численные расчёты $\Delta_fH_{(g)}^0$ и $\Delta_fH_{(ж)}^0$ тиоэфиров, согласующиеся с экспериментом. Получены новые данные.



Влияние морфологии прекурсоров на физико-механические свойства ориентированной пленочной нити сверхвысокомолекулярного полиэтилена

Макеев И.С. (студент, 4-го года обучения)

Научный руководитель: доцент, к.х.н. Межеумов И.Н.

Перспективным материалом с широким спектром функциональных свойств, применяемым в настоящее время во многих отраслях промышленности для решения различных задач, является сверхвысокомолекулярный полиэтилен (СВМПЭ) - материал, который обладает множеством полезных свойств и применяется в различных областях промышленности.

В ходе работы было рассмотрено влияние морфологии прекурсоров на физико-механические свойства ориентированных пленочных нитей СВМПЭ, а именно влияние условий получения плёнок для дальнейшего вытягивания нитей. При температуре равной 135°C и времени 100 мин. были получены 2 пленки. Различие в получение было только в методе охлаждения: пленку №1 подвергли резкому охлаждению (Рис. 1.), то есть закалке, в отличии от пленки №2 (Рис. 2.).

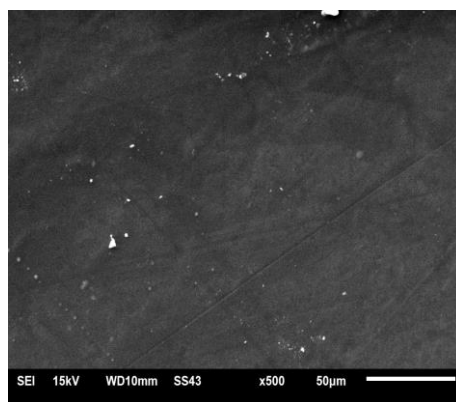


Рис.1. Пленка №1

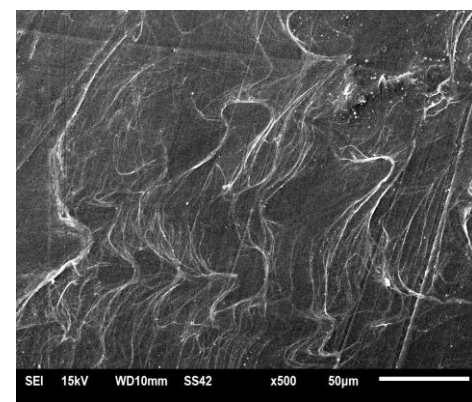


Рис. 2. Пленка №2

Список литературы:

1. Валуева М. И., Колобков А. С., Малаховский С. С. // Труды ВИАМ. 2020. Т. 3. №3. С. 49-52.



Золь-гель переход в системе L-цистеин/AgNO₃, инициированный фторид-анионом

Неелова А.В., Полякова Е.Э. (бакалавры, 3-го года обучения)

Научный руководитель: к.х.н., доцент, Вишневецкий Д.В.

Стимуло-чувствительные супрамолекулярные гели на основе низкомолекулярных соединений вызывают повышенный интерес ученых со всего мира. Различные низкомолекулярные анионы, являющиеся инициаторами гелеобразования в таких системах, привлекают повышенное внимание в связи с их существенной ролью в окружающей среде и многих биологических процессах. Цель настоящей работы — исследование особенностей формирования и свойств супрамолекулярного геля на основе цистеин-серебряного золя (ЦСЗ) и галогенид-ионов.

Было установлено, что иодид-, бромид- и хлорид-ионы приводили к осаждению наночастиц ЦСЗ. При этом впервые выявлено, что фторид-анион может инициировать процесс гелеобразования в исследуемой системе. Полученные цистеин-серебряные гели обладают тиксотропными свойствами. Реологические испытания показали, что вязкость гелей падает при увеличении концентрации аниона, что связано с изменением микроструктуры пространственной сетки геля от вытянутых образований до сферических частиц. Взаимодействие частиц ЦСЗ с F⁻ имеет электростатическую природу. Эксперименты *in-vitro* показали, что цистеин-серебряный гель обладает высокой токсичностью по отношению к клеткам плоскоклеточного рака человека, при умеренном токсическом эффекте к нормальным клеткам фибробластам человека.

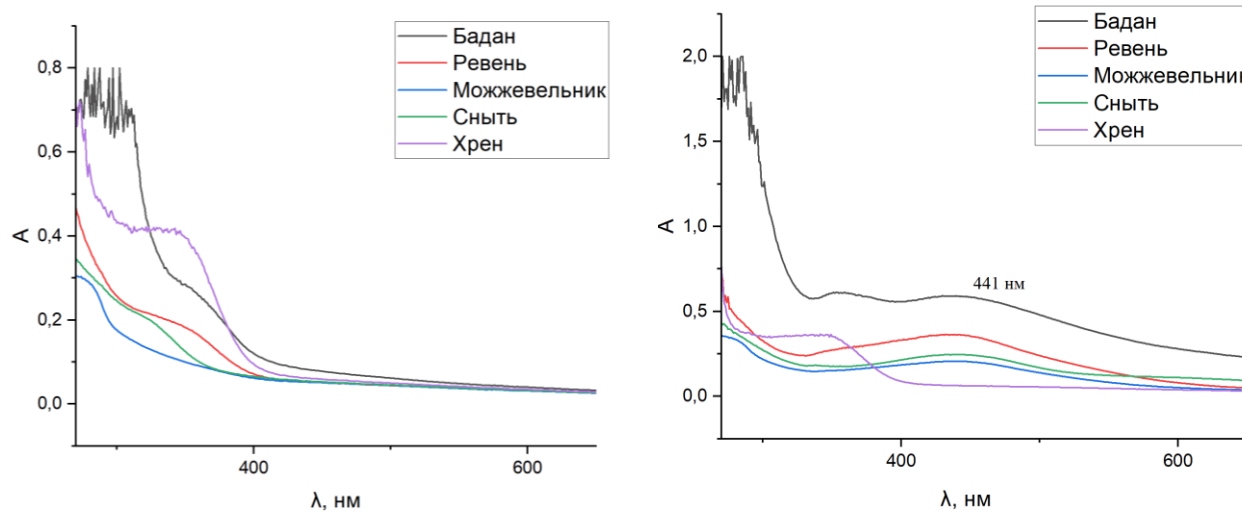
Работа выполнена в рамках развития НЦМУ (№ 075-15-2022-305) на оборудовании ЦКП ТвГУ и ИБМХ.

**«Зеленый» синтез наночастиц серебра и их физико-химические свойства**

Салазкин Н.С. (аспирант, 1 год)

Научный руководитель: профессор, д.х.н. Пахомов П.М.

Применение экстрактов разнообразных растений для создания наночастиц серебра представляет собой инновационный и экономичный подход. Отличительной особенностью таких наночастиц является их модифицированная поверхность, на которой могут присутствовать органические лиганды, белки, полисахариды и многоатомные спирты. Целью исследования является экологически чистый синтез наночастиц серебра с использованием водных экстрактов избранных лекарственных растений, включая бадан, ревень, можжевельник, сныть и хрен. В качестве ключевых методов исследования выступают спектроскопия в УФ-видимом диапазоне и динамическое светорассеяние. Анализ электронных спектров экстрактов до (А) и через 12 дней после (Б) введения AgNO_3 демонстрирует, что интенсивность поглощения и положение максимума плазмонного резонанса наночастиц серебра изменяются со временем. Исключением является образец с хреном, который не показал способности восстанавливать ионы серебра в исследуемых условиях. Самые высокие показатели поглощения были зафиксированы для экстрактов бадана и ревня, которые представлены ниже:





Топологический подход в изучении амидов

Хижняк С.Б. (студент, 5 курс)

Научный руководитель: профессор, д.х.н. Виноградова М.Г.

Целью данной работы является – установление количественных корреляций “структурно – энталпия образования” в амидах.

Для исследуемых соединений нами были вычислены некоторые топологические индексы (ТИ) и выявлена их дискриминирующая способность.

В работе также были рассмотрены аналитические зависимости вида $P=f(\text{ТИ})$ наиболее точно коррелирующие, с энталпией образования амидов и также рассмотрены графические зависимости "Энталпия образования - номер изомера" и "ТИ - номер изомера", " Энталпия образования – ТИ". Найдено, что в одних случаях наблюдается симбатное изменение $\Delta_fH^0_{298(\text{ж})}$ и ТИ, как $\Delta_fH^0_{298(\text{г})}$ и W , $\Delta_fH^0_{298(\text{г})}$ и H , что свидетельствует о хорошей корреляции между P и ТИ. В других случаях такой корреляции нет.

Для амидов нами также были получены расчётные схемы в третьем приближении:

$$P_{C_nH_{2n+1}ON} = p_1 b + p'_1 b' + p''_1 b'' + p_2 \Gamma_{CC} + p'_2 \Gamma_{CO} + p''_2 \Gamma_{CN} + p_2^* \Gamma_{NO} \\ + R \Delta_{CCC} + R' \Delta_{CON} + p_3 \tau_{CC} + p'_3 \tau_{CO} + p''_3 \tau_{CN} + p_4 \omega_{CC} + p'_4 \omega_{CO} + p''_4 \omega_{CN}$$

Здесь $p_1, p_2, p_3, p_4, \dots$ – соответственно такие индексы как число путей длины один, два, три; R – число троек смежных рёбер; b, Γ_{cc}, \dots - соответствующие параметры.

По данной схеме проведены численные расчёты $\Delta_fH^0_{298(\text{ж})}$ амидов, согласующиеся с экспериментом [1]. Получены новые данные. Средняя абсолютная ошибка расчета ($|\bar{\varepsilon}|$) и максимальное отклонение (ε_{\max}) соответственно, составляют 2,2 кДж/моль и 5,5 кДж/моль.

Список литературы:

1. Lange's Handbook of Chemistry / Editor: J.A. Dean. (15th Edition), McGraw-Hill. 1999. [Электронный ресурс].
URL: <http://fptl.ru/biblioteka/spravo4niki/dean.pdf> (дата обращения: 21.01.23).

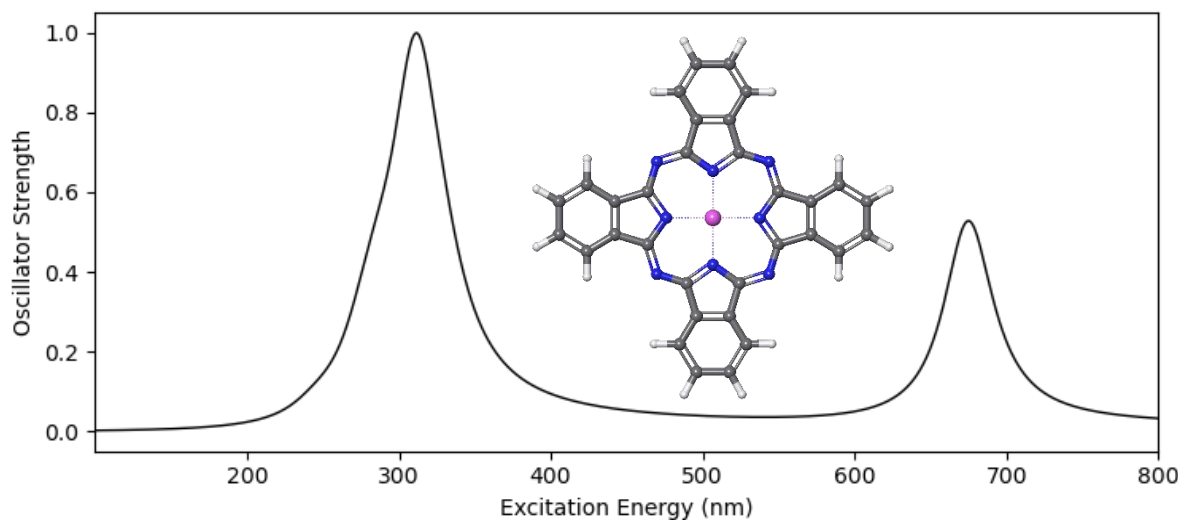


Квантовохимический расчёт электронного спектра поглощения фталоцианата магния

Васильева К.Д. (студентка, 3 курс)

Научный руководитель: профессор, д.х.н. Алексеев В.Г.

Выполнено компьютерное моделирование структуры и некоторых свойств молекулы фталоцианата магния ($MgPc$). Расчёт структуры молекулы $MgPc$ и значений энергии молекулярных электронных орбиталей HOMO и LUMO проведён методом функционала электронной плотности с использованием функционала $r^2SCAN-D3(BJ)$ и базиса 6-31G**++. $E(HOMO) = -4.97$ эВ, $E(LUMO) = -3.50$ эВ. Расчёт электронного спектра поглощения проведён методом TD-DFT с использованием функционала CAM-B3LYP-D3(BJ) и базиса 6-31G**++ для раствора в диметилформамиде. Влияние растворителя при расчёте учитывалось по модели сольватации PBF. Рассчитанный спектр поглощения представлен на рисунке:



Рассчитанные значения максимумов полос поглощения 312 и 675 нм в полной мере соответствуют экспериментальным значениям 311 и 675 нм.



Абсорбция пиридина из газовой фазы кристаллическим сульфатом меди

Джабраилова А.Г. (студентка, 3 курс)

Научный руководитель: профессор, д.х.н. Алексеев В.Г.

Измельчённые в агатовой ступке порошки кристаллогидрата $\text{CuSO}_4 \cdot 5\text{H}_2\text{O}$ и безводного CuSO_4 насыпали тонким слоем толщиной не более 2 мм в открытые чашки Петри и помещали в эксикатор на фарфоровую сетку. Туда же помещали открытые стаканчики с безводным пиридином (для насыщения внутреннего пространства эксикатора парами пиридина) и сухими гранулами NaOH (для поглощения влаги). Плотно закрывали крышку эксикатора и оставляли на трое суток. С течением времени порошки в чашках Петри приобретали одинаковый фиолетовый цвет, что свидетельствует о поглощении пиридина как безводным CuSO_4 , так и кристаллогидратом $\text{CuSO}_4 \cdot 5\text{H}_2\text{O}$ с образованием пиридиновых комплексов меди(II). При растворении в воде комплексы разрушаются. В электронных спектрах поглощения их растворов проявляется полоса поглощения 803 нм, характерная для аква-комплекса меди(II). Термический анализ комплекса, полученного из безводного CuSO_4 , показывает, что удаление пиридина из комплекса в основном завершается при 270 °C, а состав комплекса примерно соответствует формуле $\text{CuSO}_4 \cdot 0.5\text{Py}$. Для комплекса, полученного из кристаллогидрата $\text{CuSO}_4 \cdot 5\text{H}_2\text{O}$, удаление лигандов происходит в три ступени с эндотермическими максимумами при 180, 280 и 335 °C. По данным термического анализа можно составить формулу $\text{CuSO}_4 \cdot 0.5\text{Py} \cdot 3\text{H}_2\text{O}$.

Таким образом по результатам проведённого исследования можно сделать вывод, что кристаллический сульфат меди(II), как в безводной форме, так и в форме пятиводного кристаллогидрата, способен поглощать пиридин из газовой фазы. При этом абсорбция пиридина кристаллогидратом $\text{CuSO}_4 \cdot 5\text{H}_2\text{O}$ сопровождается частичной потерей воды.

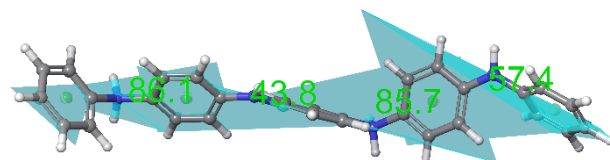
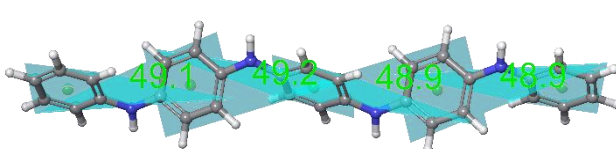


Квантовохимический расчёт структуры олигомеров анилина

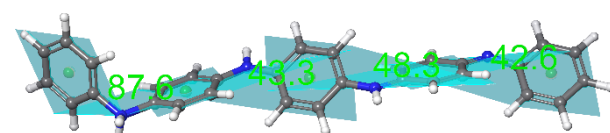
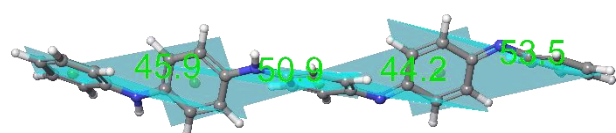
Зверева А.А. (студентка, 4 курс)

Научный руководитель: профессор, д.х.н. Алексеев В.Г.

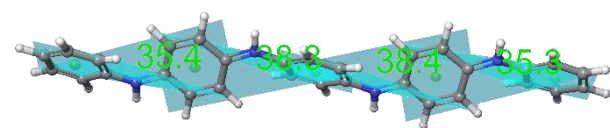
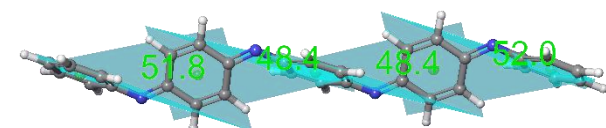
Методом функционала электронной плотности с использованием функционала $r^2\text{SCAN-D3(BJ)}$ и базиса 6-31G**++ проведён расчёт структуры олигомерных фрагментов полииамина в полностью восстановленной (лейкоэмальдин), полуокисленной (эмальдин) и полностью окисленной (пернигриалин) формах. Во всех случаях расчёт проведён для молекулярной и протонированной (катионной) форм. Протонирование аминных групп приводит к существенному увеличению углов между плоскостями циклов, а протонирование иминных групп, наоборот, эти значения уменьшает.



Лейкоэмальдин



Эмеральдин



Пернигриалин



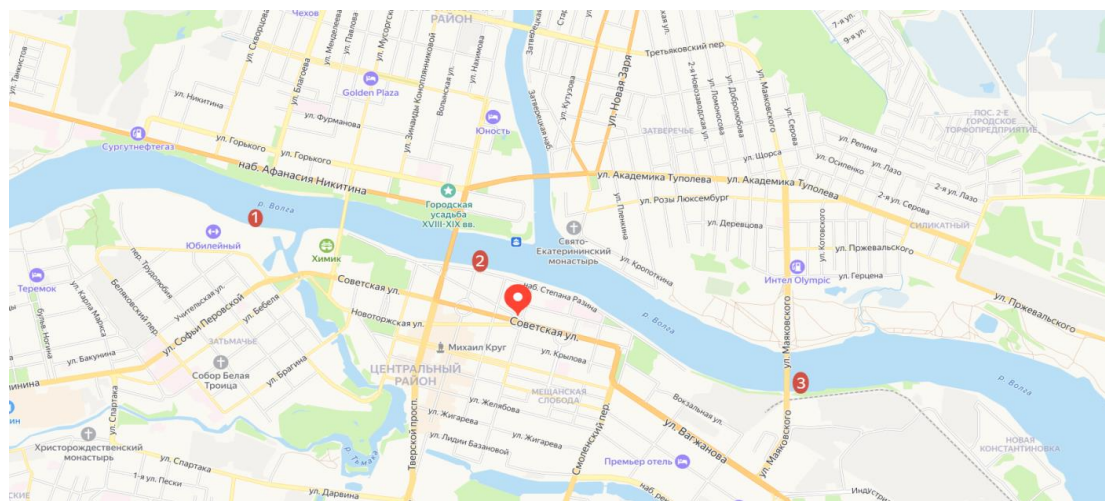
Тяжелые металлы в водах реки Волга

Короткова А.В. (бакалавр, 4-го года обучения)

Научный руководитель: профессор, д.х.н. Никольский В.М.

Актуальность темы заключается в том, что реки Твери являются важными водными объектами региона и имеют большое значение для жизни города.

Целью данной работы является изучение содержания цинка и никеля в водах реки Волги, в местах, обозначенных цифрами 1, 2 и 3. Результаты представлены в таблице.



| Металл | Концентрация металлов, мг/л | | | ПДК |
|--------|-----------------------------|---------------------|---------------------|-----|
| | Точка 1 р. Волга | Точка 2 р. Волга | Точка 3 р. Волга | |
| Цинк | 28,492 | 44,832 | 48,92 | 5,0 |
| Никель | 0,5523 | 0,4056 | 1,1847 | 0,1 |

В результате данной работы было выявлено превышение нормативных значений содержания цинка и никеля в реке Волга. Расчёты показали, что наибольшее содержание металлов находится на третьем участке, т. е. на выходе из Твери.



Количественное определение кофеина в чае

Удовенко В.П. (студентка, 3 курс)

Научный руководитель: профессор, д.х.н. Алексеев В.Г.

Экстракционно-фотометрическим методом проведено количественное определение кофеина в образцах чёрного (Greenfield Golden Ceylon) и зелёного (Ahmad Tea original) чая.

Анализируемый материал предварительно измельчали в ступке. Навеску переносили в мерную колбу, доводили до метки дистиллированной водой, перемешивали, выдерживали в течение часа и фильтровали через бумажный фильтр. Затем отбирали аликвоту фильтрата, помещали в пробирку с притёртой пробкой, прибавляли 10 мл хлороформа и энергично встряхивали в течение 15 минут. Полученный хлороформный экстракт кофеина оставляли для отстаивания полученной эмульсии на 2 часа. После этого водный слой отделяли, а хлороформный экстракт кофеина сливали в кювету спектрофотометра.

Определение кофеина при рабочей длине волн 275 нм (максимум поглощения хлороформного раствора кофеина). Для контроля чистоты хлороформного извлечения (наличие дополнительных органических веществ в хлороформном извлечении) проводили сканирование интервала длин волн от 200 до 400 нм, которое показало полное отсутствие дополнительно экстрагированных веществ. Калибровочный график строили по стандартным растворам кофеин-бензоата натрия.

Результаты определения

| Образец | Найденная концентрация кофеина в экстракте, мг/л |
|---------------------------------------|--|
| Чай чёрный «Greenfield Golden Ceylon» | 464,7 |
| Зелёный чай «Ahmad Tea original» | 313,6 |



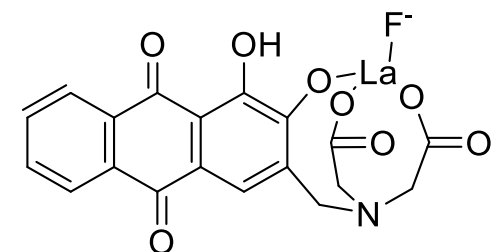
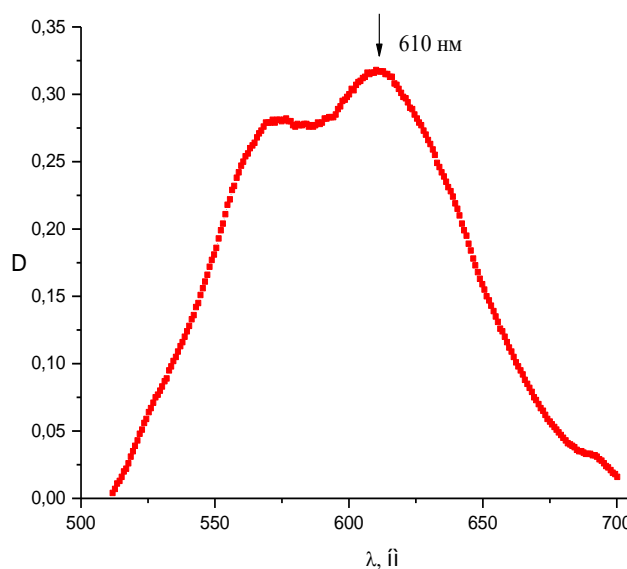
Количественное определение фторхинолонов в лекарственных формах

Черепанова М.В. (студентка, 3 курс)

Научный руководитель: профессор, д.х.н. Алексеев В.Г.

Образцы лекарственных форм, содержащих фторхинолоновые антибиотики, смешивали с $\text{Ca}(\text{OH})_2$ и выдерживали в муфельной печи при 650 °C градусов на 3 часа. При этом органические вещества, входящие в состав лекарственной формы, разлагаются, а весь фтор переходит в CaF_2 . Далее тигель извлекали из печи и охлаждали. Его содержимое полностью перемещали в колбу с раствором оксалата аммония в двукратном мольном избытке. Смесь выдерживали в течение часа при непрерывном перемешивании. При этом фторид-ион переходил в раствор: $\text{CaF}_2 + \text{C}_2\text{O}_4^{2-} = 2\text{F}^- + \text{CaC}_2\text{O}_4$

Далее содержание фтора в растворе определяли спектрофотометрическим методом, основанным на образовании растворимый в воде тройного комплекса синего цвета, в состав которого входит лантан, ализарин-комплексон и фторид.



Спектр раствора, для определения ципрофлоксацина в лекарственной форме.

Содержание антибиотиков в лекарственных формах

| Образец | Заявлено производителем, мг | Найдено, мг |
|---------------------------|-----------------------------|-----------------|
| Офлоксацин | 200,00 | $198,8 \pm 2,5$ |
| Нолицин (норфлоксацин) | 400,00 | $397,1 \pm 4,9$ |
| Ципролет (ципрофлоксацин) | 250,00 | $244,7 \pm 7,1$ |